

熔鑄爐送風機用瓦斯機關ピストン棒材料の 腐蝕疲労に関する研究

(日本鐵鋼協會第17回講演大會講演 昭和12年4月)

田川浅次郎*

STUDY ON THE CORROSION-FATIGUE OF THE MATERIAL FOR THE PISTON ROD
OF THE GAS BLOWING ENGINE FOR THE BLAST FURNACE.

Asajiro Tagawa

SYNOPSIS.—A piston rod made of nickel-chrome steel for the 4,800 H.P. Gas blowing engine, manufactured by the foreign works was fractured. Investigating the cause of failure, the corrosion fatigue due to cooling water was found to be an important factor.

Therefore, series of fatigue tests on the fractured material and also on carbon steels with a tensile strength of about 60kg/mm^2 were carried out with special care to the corrosion fatigue, the conclusions are as follow ;—

1. The carbon steel is sufficiently good as a material for the piston rod.
2. The degree of forging increases the resistance to corrosion fatigue.
3. By using emulsion oil as a cooling medium, the corrosion fatigue can be prevented to a certain extent.

目 次

I. 緒 言

1. 研究の動機
2. 従来の研究
3. 研究の施行方針

II. 一般事項

4. 實驗裝置
5. 試験片の形狀及寸法
6. 實驗方法及防蝕劑並に防蝕試料の製作
7. 疲労限界の決定方法

III. 外國製 Ni-Cr 鋼ピストン棒の腐蝕疲労試験

8. 實驗項目
9. 實驗材料 (a) 試験片の採取位置 (b) 試験片の機械的性質 化學成分及組織
10. 實驗結果
11. 總括
12. 實驗項目
13. 實驗材料 (a) 試験片の採取位置 (b) 試験片の機械的性質 化學成分及組織
14. 實驗結果 (a) 炭素鋼ピストン棒の壓延材の試験結果 (b) 炭素鋼ピストン棒の鍛錬材の試験結果
15. 總括

V. 當所製炭素鋼ピストン棒の鍛錬度を異にする材料の疲労試験

16. 實驗項目
17. 實驗材料 (a) 試験片の採取位置 (b) 試験片の機械的性質 化學成分及組織
18. 實驗結果
19. 總括

VI. 當所製炭素鋼ピストン棒の腐蝕疲労試験

20. 實驗項目
21. 實驗材料 (a) 試験片の採取位置 (b) 試験片の機械的性質 化學成分及組織
22. 實驗結果
23. 總括

VII. 結 論

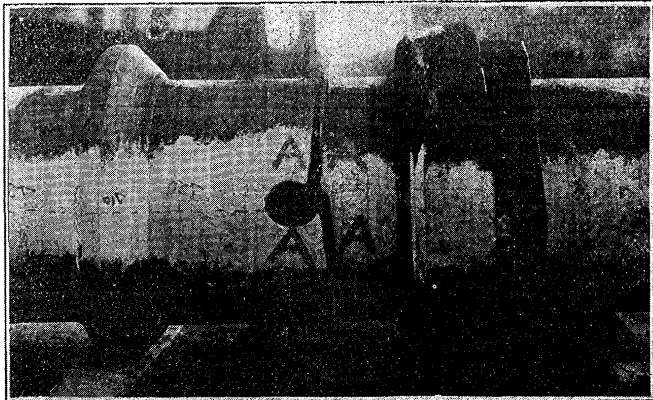
I. 緒 言

- 1 研究の動機 熔鑄爐に附屬せる複動串型4サイクル

* 日本製鐵株式會社八幡製鐵所

4,800 馬力瓦斯送風機の第1シリンダーの外徑 360mm 内徑 160mm ピストン棒(外國製)が運轉開始以來1年9ヶ月にして冷却水がピストンに出入する斜孔部に於て棒の軸心に直角に破壊した(第1圖のA及B圖 第2圖 第3

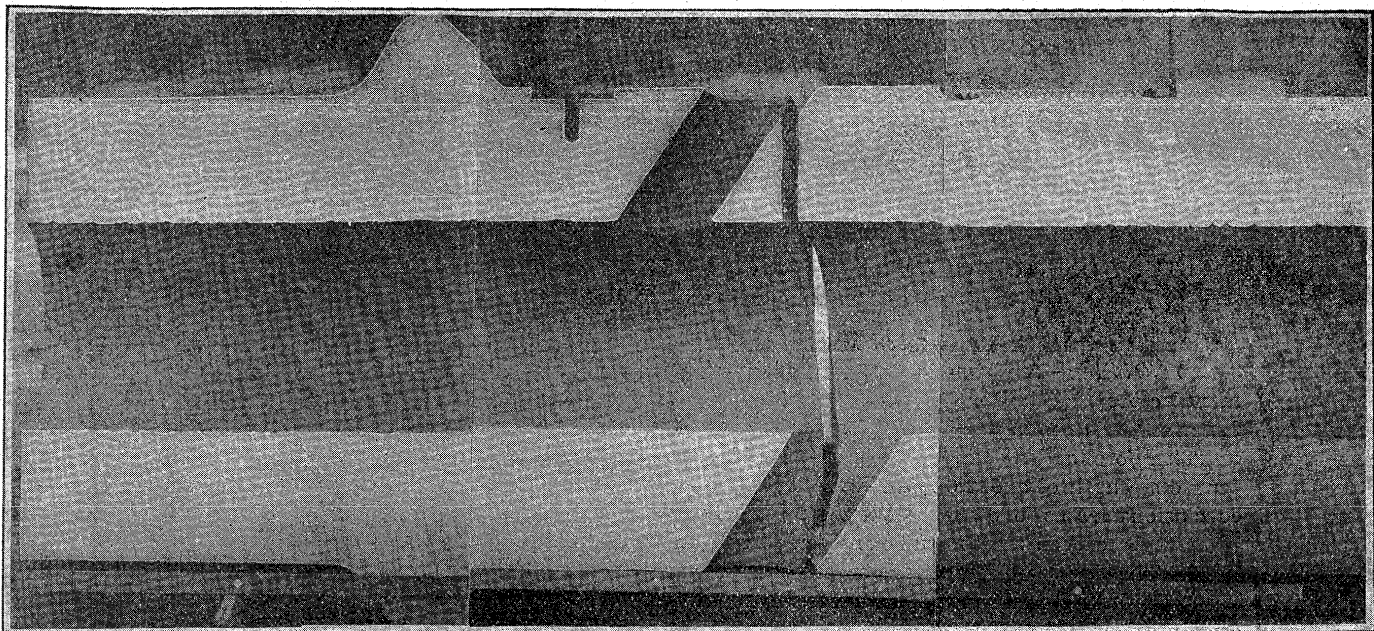
第1圖 外國製 Ni-Cr 鋼ピストン棒の破壊狀態圖
(A) 棒の天側より見たるもの



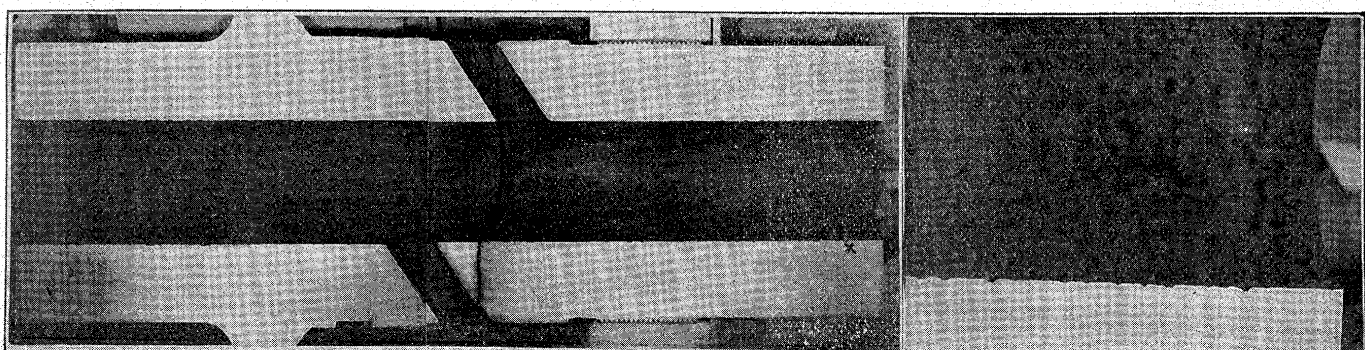
(B) 棒の地側より見たるものにして A 圖に示す材料を
其の裏側より見たるもの



第2圖 Ni-Cr鋼ピストン棒の破壊状態圖（棒の軸に沿ひ天地に縦断せるもの）



第3圖 Ni-Cr鋼ピストン棒の破壊状態圖 (A) 棒の軸に沿ひ天地に縦断せるもの (B) 腐食孔より起る亀裂を示す(×印の個所)

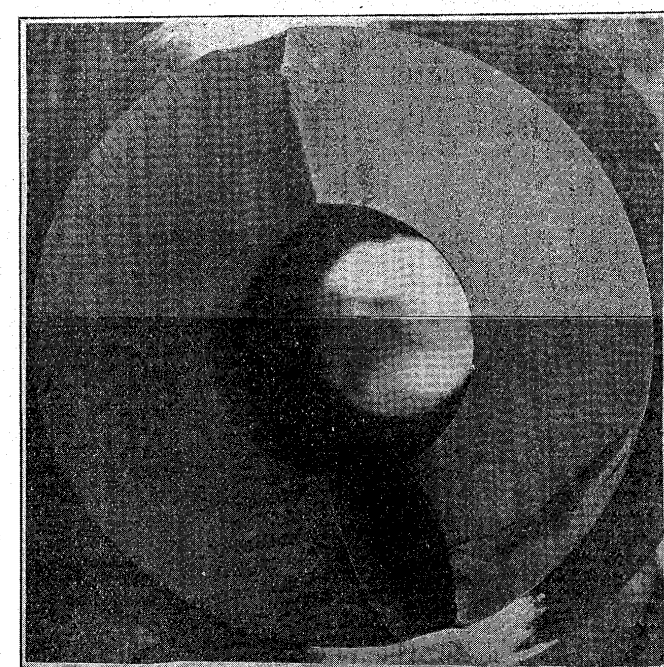
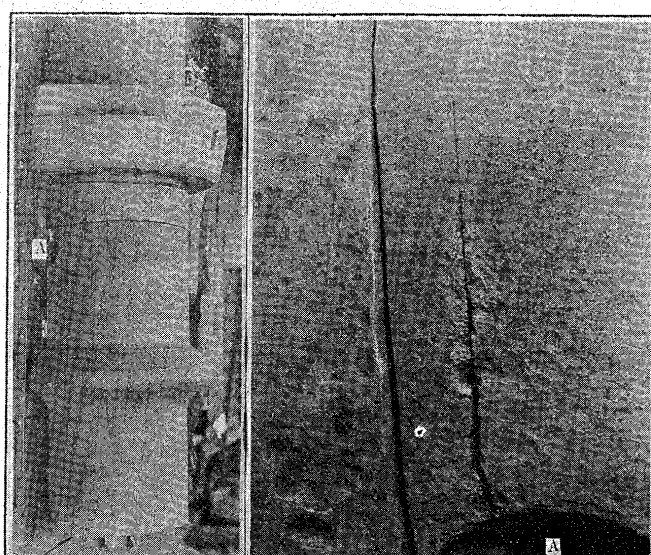


備考 第2圖及第3圖はピストン棒の軸に沿ひ天地に縦断したる時に出来た2個の材料の断面を示す。

第5圖 Ni-Cr鋼ピストン棒の破壊する横断面

第4圖 外國製 Ni-Cr 鋼ピストン棒の破壊状態圖

- (A) 棒の外側より見たもの
- (B) 棒の外側の斜孔部附近を示せるもの



圖の A 及 B 圖 第 4 圖の A 及 B 圖参照) 其破面は特に著しき缺點を示さず(第 5 圖)只破壊が棒の斜孔部より發し第 2 圖及第 3 圖に示す如く棒軸に沿ふ縦断面によると水と接觸する部分には無數の腐蝕ピットを生じ其ピットが切缺きとなり奥深く龜裂を生じ腐蝕孔の大なる程龜裂は大であった。其れ故腐蝕疲労が破壊の重要因素となる事が明らかに認められた。そこで破壊せる Ni-Cr 合金鋼ピストン棒の腐蝕疲労の強さを調べ更に取換品たる當所製の 2 種の炭素鋼の各ピストン棒に就きて腐蝕疲労の強さを決定し且つ之等の鋼材に對して如何なる冷却剤を使用すれば多少にても腐蝕疲労の影響を防止し得られるかを研究する必要に迫られた。

2 従來の研究 大型内燃機關のピストン棒特に舶用 2 サイクル デーゼル機關の水冷却ピストン棒が近年屢々破壊するので其防止策は斯界の問題となつて居る。其破壊原因は材質 熱應力其他種々あるであらうがピストン棒が水の腐蝕作用を受けるために其疲労限界が著しく低下せしめられる事が有力なる原因の一つと見做されて居る。而して現在までの経験にては材料の化學成分を變へる事により腐蝕疲労の防止は出來ないとされてゐる。從て一般に腐蝕疲労の研究は各方面に於て大なる注意を喚びつゝある有様で其概要は別に輯録したから茲には省く¹⁾。

3 研究の施行方針 本研究に於ては東京帝國大學教授小野鑑正博士の御指導の下に前記の材料及當所發電所瓦斯機關ピストン棒材料につき次の實驗を行ふ事にした。

- (a) 破壊せる送風機瓦斯機關ピストン棒より取れる試験片に就て空氣中の疲労強さを定め之と比較するために注水状態に於ける強さを見出し尙ほ種々の防蝕剤又は防蝕法に就て其影響を試験する事。
- (b) 取替品たる送風機瓦斯機關用當所製炭素鋼ピストン棒材料の壓延材及之を更に鍛鍊せるものにつき夫々空氣中の疲労強さを定め且つ之と比較する爲めに注水状態に於ける強さを見出すこと。
- (c) 發電所瓦斯機關用當所製炭素鋼ピストン棒新製品材料につき鍛鍊度を異にせる場合の疲労強さの變化を見出す事。
- (d) 取替品たる送風機瓦斯機關用當所製炭素鋼ピストン棒より取れる試験片の空氣中及注水状態に於ける疲労強さ

を見出し且つ防蝕剤の影響を試験する事。

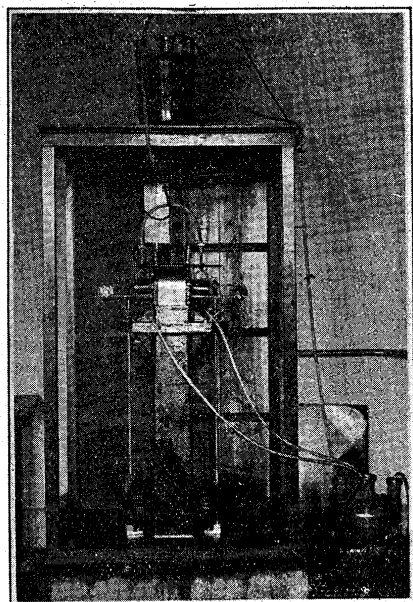
II 一般事項

4 實驗装置 本實驗を施行した裝置は米國 Olsen 會社製 White-Souther 式彎曲疲労試験機(第 6 圖)であつて 2 個の試験片は同時に試験し得られ 直結 1/2 馬力電動機よりヘリカルギアによって廻轉され 其の廻轉數は毎分 1,850 であつと。

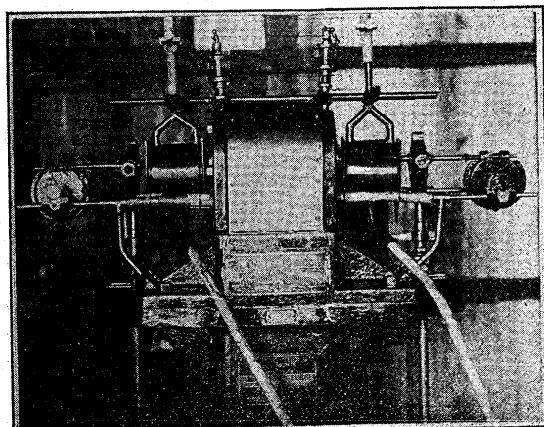
實驗に於ては 2 個の試験片を構成する一本の試料を試験機の擗み部分に挿入して圓筒形楔の打込みによつて固定し 其兩端に重錘を掛け其廻轉數は積算回轉計によつて測定し

た 水又は防蝕液を注いで疲労試験を行ふ場合には第 7 圖に示す如き注液裝置を用ひ試験片の部分を圓筒形のセルロイド箱を以て覆ひポンプによつて 2 個の硝子タンクの間

第 6 圖 White-souther 式耐久試験機



第 7 圖 試験片腐蝕裝置



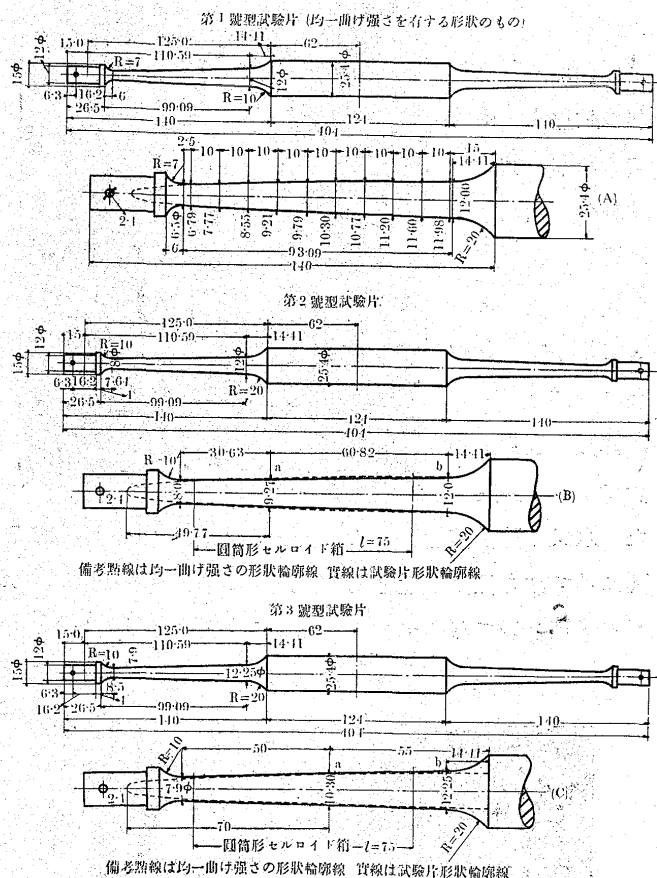
を絶えず循環する液が試験片とする部分に直上より一様に注ぎかけられ而してそれが落下して圓筒形箱内に溜りたる後に循環する様にした 液が圓筒形セルロイド箱より飛び出るのを防ぐために試験片のセルロイド製圓筒箱より離れる部分に薄きゴムの嵌輪を固着せしめた 而して注液の

1) 日本製鐵株式會社八幡製鐵所研究所 各種鋼質のピストン棒(内燃機關用)の冷媒及腐蝕疲労防止に関する文献(1931~1935)

流速は常に 25 cc/sec であった

5 試験片の形状及寸法 本實驗に使用した彎曲疲労試験片の形状及寸法は第8圖に示す通りであつて 仕上げは 000 エメリー研磨紙によつた 試験片の測定部分はその各断面に惹起される最大曲應力を出来る丈均一なる様にした 第1號型試験片(第8圖 A 圖)は計算通その均一曲げ應力を有するときの形状であつて 試験片符號 A I A II に之を使用した 然し之によると破壊はフィレットの部分に起り易く 且つ試験片の製作に際し 仕上げが困難且時間

第 8 圖



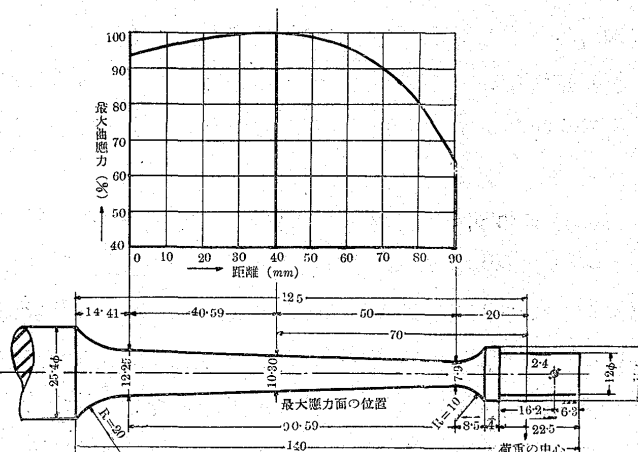
を要するので第8圖 B に示す如く此の試験片 (A 圖) の形状輪廓線上の一點 a と締付部に近き點 b とを直線にて結び之を他端に延長したのが第2號型試験片である 之は試験片符號 A IX A X A XI A XII A XV 及 A XVI に使用した 此の試験片では破壊は原則として a, b の二點間に起り 空氣中の疲労試験では差支へないが 注液による腐蝕疲労試験では注液用圓筒形セルロイド箱をB圖に示す位置に於て試験片を覆ふ關係上試験片の a, b 2 點間の圓筒形箱の外に出で注液されない部分で破壊する事もあり得るを以て 第8圖 C に示す如く第1號型試験片の形状輪廓線の中央部附近の a 點に於てそれに切線を引き 直線型

形状の試験片としたものが第3號型試験片である

前記の試験片符號以外のすべての試験片には全部此型を使用した 此試験片では破壊は原則として試験片の中央部附近に起り 腐蝕疲労試験に於て注液の效果を見るに安全である この第3號型試験片に於ける表面最大曲應力分布状態は第9圖に示す如くである

第 9 圖 彎曲耐久試験片 (第3號型)

の最大曲應力分布圖 (%)



6 實驗方法及防蝕剤並に防蝕試料の製作 實驗に於ては普通の疲労試験方法を用ひた 即ち荷重を種々に變へて試験片が破壊せしときの所要迴轉數 即ち繰返回數を測定し試験片が繰返回數 10^7 に達しても尚ほ破壊せざるときは

第 1 表 遠賀川給水の水質試験成績 (水10萬分中)

昭和 11 年 10 月 22 日

全浮游夾雜物		全溶解性物質		溶 解 成 分 の 推 定 化 合 物	
全 浮 游 物 (Total Suspended Matter)	3.96	全 溶 解 物 (Total Dissolved Matter)	23.48	NaCl	1.62
有 機 物 (Organic Matter)	0.94	Na_2O	5.94	K_2SO_4	0.22
SiO_2	2.26	K_2O	0.12	MgSO_4	1.28
Fe_2O_3	0.40	CaO	3.34	CaSO_4	5.49
Al_2O_3	0.16	MgO	0.65	Na_2SO_4	3.78
CaO	0.05	SO_3	6.31	CaCO_3	1.92
MgO	0.03	Cl_2	0.98	MgCO_3	0.44
MnO	0.07	SiO_2	1.68	Na_2CO_3	4.68
$\text{Fe}_2\text{O}_3 + \text{Al}_2\text{O}_3$		0.16	SiO_2	1.68	
CO_2		3.00	有 機 物 (Organic Matter)	1.40	有 機 物 (Organic Matter)
有 機 物 (Organic Matter)		1.40	曹 達 鹽 類 鐵 鋼 及 鑿 土 鹽 類	0.81	
度					
總 硬 度		永 久 硬 度		一 時 硬 度	
4.34		2.86		1.48	

試験を中止した 而してこの試験は晝夜連續して之を行た
液體を注ぎつつ行た疲労試験に於ける液及表面保護法は
次の通りである

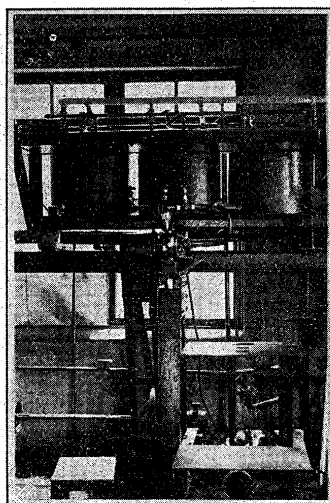
(1) 注水の場合 この際の實驗用水には送風機ピストン棒の冷却用水である遠賀川より来る淡水を使用した その水質の分析成分は第1表に示す如くである 即ち水 10 萬分中に於ける全浮游物は 3.96 全溶解性物質は 23.48 で 鹽分は極く少量で 1.62 であり總硬度 4.34 の軟水である

(2) 重クロム酸ソーダ溶液(0.02%)を注げる場合 此の場合も遠賀川の淡水に 0.02% の重クロム酸ソーダを溶かした液を使用した。

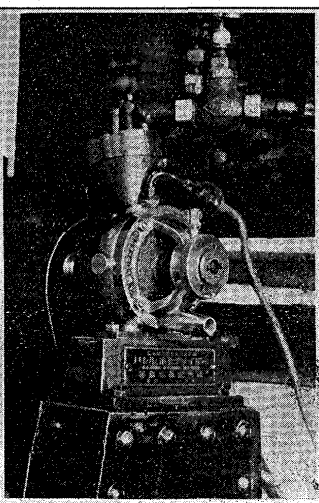
(3) クロム酸カリ溶液(0.02%)を注げる場合 此の場合も遠賀川原水に 0.02% のクロム酸カリを溶かした液を用ひた

(4) 乳化油(1%)を注げる場合 此の試験には鑛油を使用した 即ち日石 2 號車軸油 1% を遠賀川の水に加へて乳化油を作た 乳化油製造設備及ハレルホモデナイザーの概略は第 10 圖及第 11 圖に示す如くである

第 10 圖
乳化油製造設備



第 11 圖
ハレルホモデナイザー



此の裝置は 1 分間回轉數 780 で 10 馬力電動機により運轉され ベルトによりホモデナイザーのロートルは 1 分間回轉數 11,210 の速さで廻轉する 先づ遠賀川淡水に對し 鋼板工場廢油から製作した椰子油石鹼の 0.2% 溶かした後それを 60°C に熱し その溶液をよく攪拌して第 10 圖に示すタンク内に入れ これをハレルホモデナイザーのロートル上の漏斗(第 11 圖)に導き 其の際二號車軸油の 1% を同時に注入せしめた 石鹼水と油とが混和しつゝホ

モデナイザーのロートルの上部間隙(0.325 mm)を通過する際 油は非常に細かき粒子となつて混和せしめられた乳化油は其の後 2 回ホモデナイザーを通過せしむる事により 乳化度の安全を期した その際乳化をよくするために用ひた椰子油石鹼の分析は第 2 表の通りであつた

第 2 表 椰子油石鹼分析試験成績

キシロール法 水分(重量%)	NaOHとして 遊離アルカリ (重量%)	不鹼化 脂 (重量%)	灰 分 量
8.33	痕 跡	0.423	14.31

(5) クロム鍍金せる試料に注水せる場合 ピストン棒より採取せる試料へのクロム鍍金は 當所中央工具工場に於て電解装置により之を行た

(6) 窒化せる試料に注水せる場合 ピストン棒試料の窪化は研究所電氣化學實驗室で行ひ 溫度 520°C にてアンモニア瓦斯の流速を 600 cc/min に保定し 20 時間 25 時間 30 時間夫々窪化せる試料に遠賀川の淡水を注いで試験した

7 疲労限界の決定方法 空氣中の疲労試験に於ては抗張力以下の應力を試験片に與へて運轉し 最大曲應力 σ と破壊する迄の繰返回數 N との關係を見出し その σ - N 曲線の水平となるときの値を疲労限界として決定するのであるが實際には無限に繰返す事は不可能であるから普通繰返回數 10^7 を限度とし これ以上堪へ得る應力中の最大値を以て疲労限界と定めて居る 本實驗に於ける空氣中試験では σ - N 曲線が繰返回數 10^7 を切る點の應力値を以て疲労限界と決めた 又腐蝕疲労試験に於ては その σ - N 線圖には水平部分は現れず 従て其 σ - N 曲線の繰返回數 10^7 を切る點の應力値を以て腐蝕疲労限界と見做した 而して最大曲應力 σ の値は次式より求めた

$$\sigma = \frac{32 P l}{\pi d^3}$$

但し σ ($\pm kg/mm^2$) = 表面最大曲應力

$P(kg)$ = 荷重

$d(mm)$ = 試験片の最大曲應力を受ける部分の直徑

$l(mm)$ = 荷重線より梁の破壊せる點までの距離

尙各實驗に於ける σ - N の關係は 之を兩對數方眼紙上に線圖で表はした 圖中空氣中 注水 乳化油その他に對し試料の採取場所がピストン棒の外周部なるか 又は内周部なるかによつて夫々符號にて區別し 又繰返回數 10^7 を越ゆるも破壊せざりし試料に對しては矢を附した

III 外國製 Ni-Cr 鋼ピストン 棒の腐蝕疲労試験

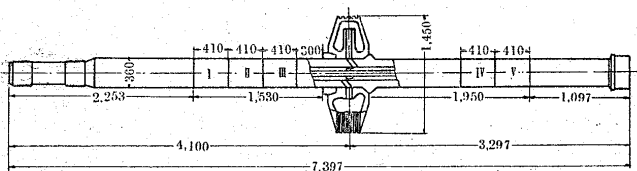
8 實驗項目 前述の I の 3 に記載せる一般方針に従ひ次の場合の疲労試験を行た

- (1) 空氣中 (2) 注水 (3) 乳化油(1%)使用 (4) クロム鍍金せる試料に注水 (5) 重クロム酸ソーダ溶液(0.02%)使用 (6) クロム酸カリ溶液(0.02%)使用 (7) 窒化せる試料に注水

9 實驗材料

(a) 試験片の採取位置 本實驗に於ては第 12 圖に示す如く Ni-Cr 合金鋼ピストン棒の I III IV 及 V 部より其外周部試料を採取し I II III IV 及 V 部より内周部試料を其内面より適當な距離を置いてとり III の部分の外周部からは主として窒化すべき試料をとった

第 12 圖 外國製 Ni-Cr 鋼ピストン棒の試料採取位置



(b) 試験片の機械的性質 化學成分及組織 ピストン棒の III の個所の内外周部試料(第 13 圖参照)の靜的試験結果及化學成分は第 3 表及第 4 表に其の組織寫眞は第 14 圖にある 即ち抗張力は平均に於て外周部は 84.9 kg/mm^2 内周部は 80.9 kg/mm^2 でその間に 4 kg/mm^2 の差を示した 組織に於ては外周部は内周部より粒子が小であった又ピストン棒の他の部分 例へば V の部分の内外周部(第 15 圖参照)の靜的試験結果及化學成分は第 5 表及第 6 表に其組織寫眞は第 16 圖に示す如くであつて其抗張力は平均に於て外周部では 80.9 kg/mm^2 内周部で 78.6 kg/mm^2 を示し其差は 2.3 kg/mm^2 であった 其組織に於ては外周部は矢張り内周部より細かであった

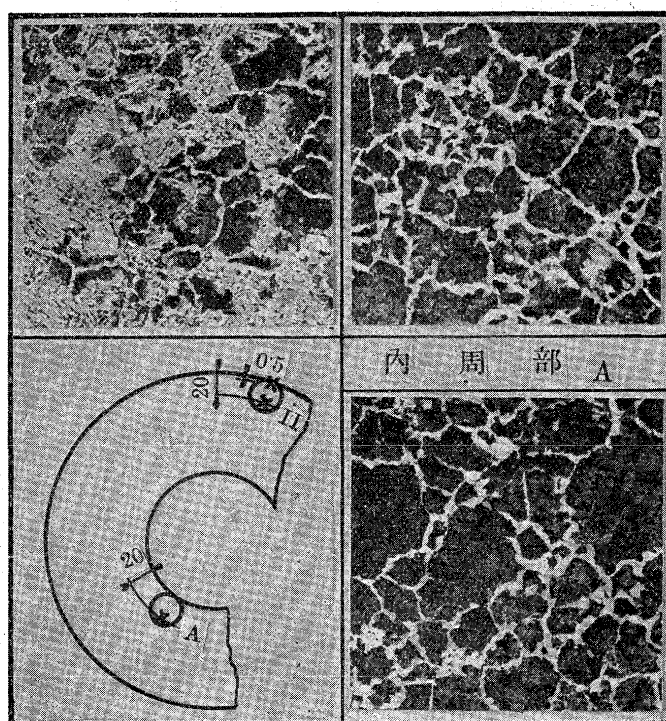
斯くの如くピストン棒の内周部により著しき抗張力及組織の差を示した

第 13 圖 Ni-Cr 鋼ピストン棒の試料採取位置

III	試料位置 採取試料	外周部		内周部	
		I ~ 10	C ~ L	A ~ B	
	疲労試験片				
	機械試験片 化學分析試 料及組織寫 真試料	11 12		A B	

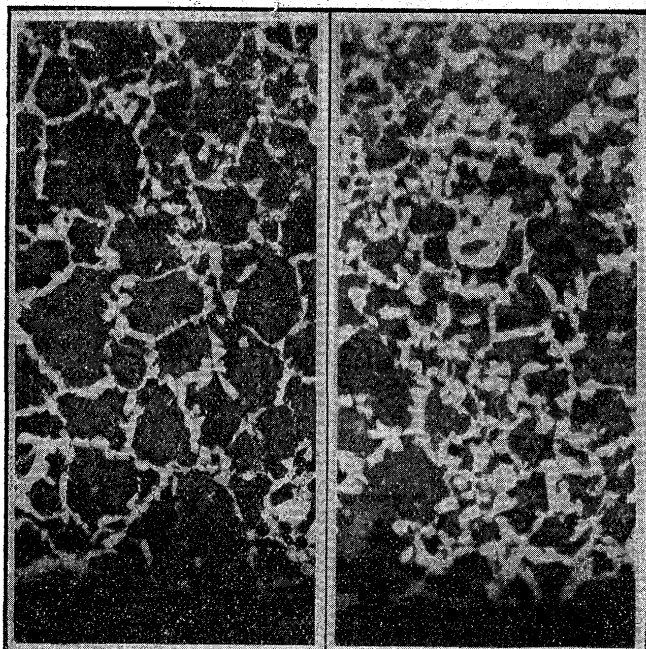
第 14 圖 Ni-Cr 鋼ピストン棒の顯微鏡組織

(ピストン棒 II の部分の横断面)
外周部 II 外周部表面附近 II ($\times 100$ を縮寫)



第 16 圖 Ni-Cr 鋼ピストン棒の顯微鏡組織

外周部 A ($\times 150$ を縮寫) 内周部 D



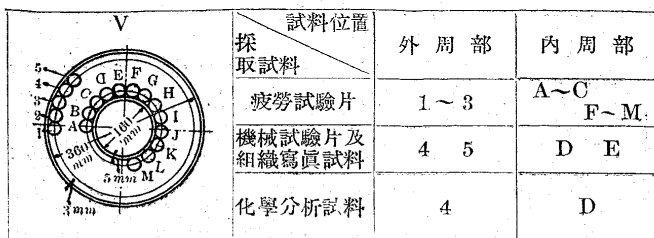
ピストン棒 V 部
の個所横断面



10 實驗結果 外國製 Ni-Cr 鋼

ピストン棒試料に對する疲労試験の結果は第 7 表より第 18 表に示す如くでそれ等の場合の繰返應力 σ 及繰返回數 N の關係を線圖に示したものが第 17

第15圖 N-Cr鋼ピストン棒V部の試料採取位置



第3表 靜的試験成績

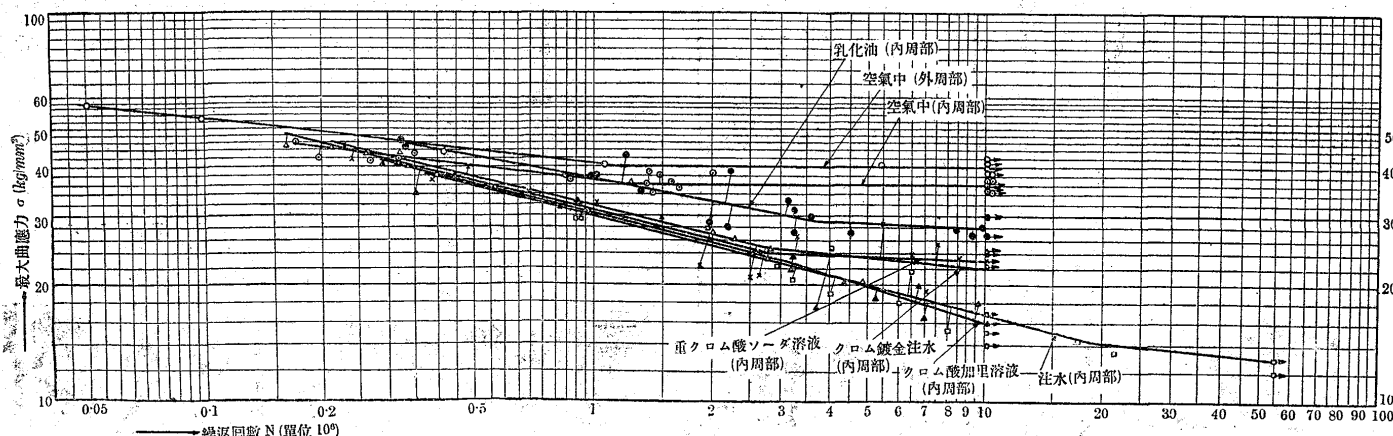
試料位置	抗張力 (kg/mm²)	破断界 (kg/mm²)	降伏點 (kg/mm²)	延伸率 (GL=100 mm/mm)(%)	断面收縮率 (%)	彈性係数 (kg/mm²)
外周部	11 86.2	141.5	63.0	16.0	58.5	21,080
	12 83.5	145.2	62.0	16.0	58.5	20,960
	平均 84.9	143.9	62.5	16.0	58.5	21,020
内周部	A 81.3	136.8	56.3	18.0	57.7	20,920
	B 80.4	134.6	54.7	16.0	57.3	20,940
	平均 80.9	137.7	55.5	17.0	57.5	20,930

第4表 化学成分%

試料位置	C	Si	Mn	P	S	Cu	Ni	Cr
外周部	11 0.37	0.222	0.63	0.027	0.031	0.09	1.70	0.42
	12 0.37	0.251	0.64	0.028	0.030	0.10	1.71	0.44
	平均 0.37	0.237	0.64	0.028	0.031	0.10	1.71	0.43
内周部	A 0.37	0.230	0.57	0.028	0.033	0.09	1.70	0.43
	B 0.36	0.249	0.66	0.026	0.030	0.10	1.69	0.43
	平均 0.37	0.240	0.62	0.024	0.032	0.10	1.70	0.43

圖及第18圖である。それによると各種の場合の試験結果は次の如くである。

第17圖 外國製N-Cr鋼ピストン棒材料のσ-N線図



繰り返し数 5.5×10^7 に於ける疲労限界は 13 kg/mm^2 であった。試験の進むにつれて試験片の表面には著しき腐蝕を示し赤錆を生じてゐた。注水に於ける腐蝕疲労試験中材料は腐蝕を受け其爲め切缺を表面に起し遂に破壊に到る状態は第19圖に明示される如くであつて

第5表 静的試験成績

試料位置	抗張力 (kg/mm²)	降伏點 (kg/mm²)	延伸率 GL=50mm (%)	断面收縮率 (%)	彈性係数 (kg/mm²)
外周部	4 80.2	56.0	24.0	58.3	21,300
	5 81.5	58.0	23.0	60.0	20,750
	平均 80.9	57.0	23.5	59.2	21,025
内周部	D 82.7	58.8	23.5	51.2	20,950
	E 74.5	52.9	24.0	61.4	-
	平均 78.6	55.9	23.8	56.3	20,950

第6表 化学成分%

試料位置	C	Si	Mn	P	S	Cu	Ni	Cr
外周部	4 0.34	0.238	0.58	0.023	0.022	0.10	1.77	0.56
	内周部 D	0.37	0.223	0.63	0.021	0.024	0.10	1.77

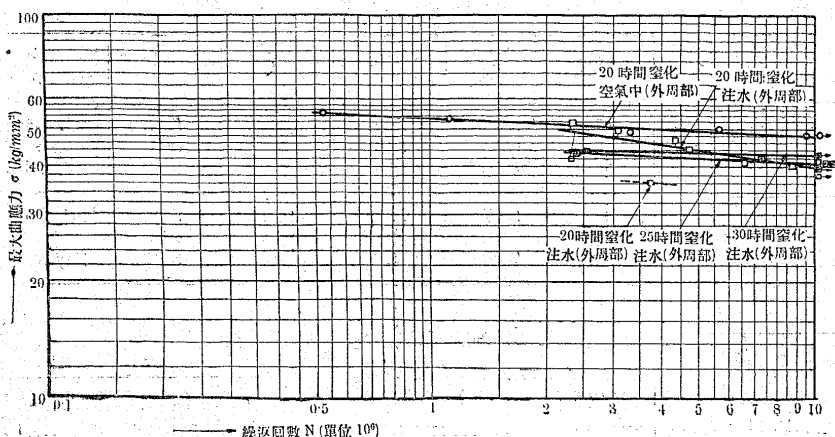
(1) 空氣中に於ける疲労試験結果

疲労限界 1. 外周部 40 kg/mm^2 2. 内周部 36 kg/mm^2 即ち外周部及内周部に於て 4 kg/mm^2 の差を示した

(2) 注水に於ける腐蝕疲労試験結果

疲労限界 内周部 17 kg/mm^2

此の場合の σ -N 線は空氣中に於けるものより著しく急傾斜を示し繰り返し数 10^7 に於ても尚ほ著しき傾きを示した。而して上記の値は空氣中に於けるもの、 $1/2$ 以下に當る尚ほピストン棒が破壊した迄の實際の迴轉數に相當する。

第18圖 外國製 Ni-Cr 鋼ピストン棒材料の窒化試料の σ -N 線圖

試験片 符 号	破 壊 せ る も の	破 壊 せ ざ る も の	試験 状況	窒化状況	ピストン 棒試 料採取位置	疲労限界線返 回数 10^7 kg/mm^2
NA 20	○	○	空氣中	520°Cにて20時間窒化	外周部	48
NW 20	□	□	注水	同	同	40
NW 25	●	●	注水	520°Cにて25時間窒化	同	41
NW 30	■	■	注水	520°Cにて30時間窒化	同	43
NW 20	□	□	注水	520°Cにて20時間窒化	内周部	

其龜裂はフェーライト粒子を横断してゐた。此際試験片の水の注がれる部分と注がれざる部分との境界に於て破壊が起きた場合が相當あつた。

(3) 乳化油(1%)注液による腐蝕疲労試験結果

疲労限界 内周部 $28 kg/mm^2$

此の數値は空氣中に於けるものより $8 kg/mm^2$ 低く注水に於けるものより $11 kg/mm^2$ の上昇を示した。其 σ -N 線の進行は空氣中のものより降下するが、注水の場合より著しく傾斜が緩かであつて、腐蝕疲労の著しき減少を示した。其腐蝕状態を見る爲めに最大曲應力 $33.0 kg/mm^2$ 繰返回數

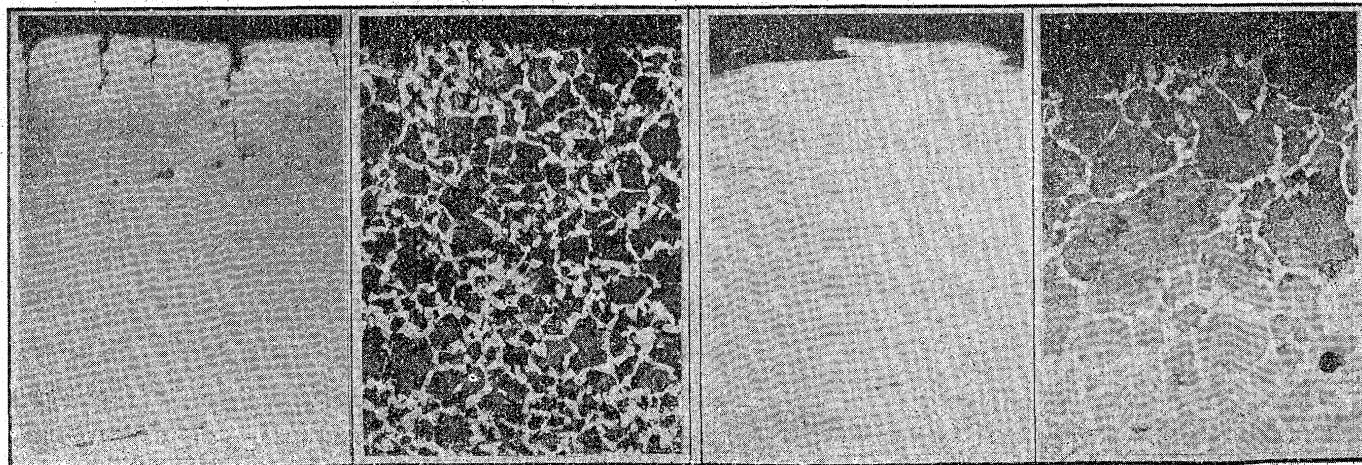
外國製 Ni-Cr 鋼ピストン棒試料の腐蝕疲労試験後に於ける試験片中央部縦断面状態

第19圖 注水せるととき 試験片符號 W IX

($\sigma = 20.66 kg/mm^2$ $N = 3,202,000$)

第21圖 乳化油(1%)を注げるととき 試験片符號 EX

($\sigma = 31.11 kg/mm^2$ $N = 3,297,200$)



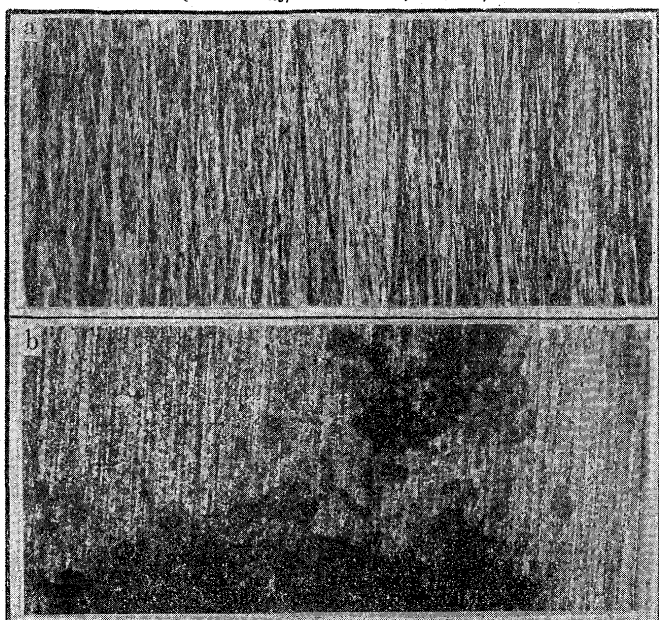
3,153,700 にて破壊せる材料(試験片符號 E IX)につき試験後の表面を検鏡せしに乳化油を注いだ試験片の中央部表面には鎌の痕跡は少しも認められなかつた(第20圖a圖)然るに乳化油を注ぎたる部分と注がれざる部分との縁部表面には稍鎌を生じてゐた(第20圖b圖)そこで試験片符號 E IX 及 E X 試験片の表面の注液されざる部分にセルロイドを塗て局部的腐蝕の影響を調べた處之は何等の效果を示さなかつた。一般に乳化油使用の場合は試験片表面は鎌を生ぜず光澤を失はなかつた。而して試験後の試験片(E IX, $\sigma = 31.11 kg/mm^2$, $N = 3,297,200$)の縦断面を検鏡せるに疵は全く認められなかつた(第21圖)

(4) クロム鍍金せる試験の腐蝕疲労試験結果

疲労限界 内周部 $22 kg/mm^2$

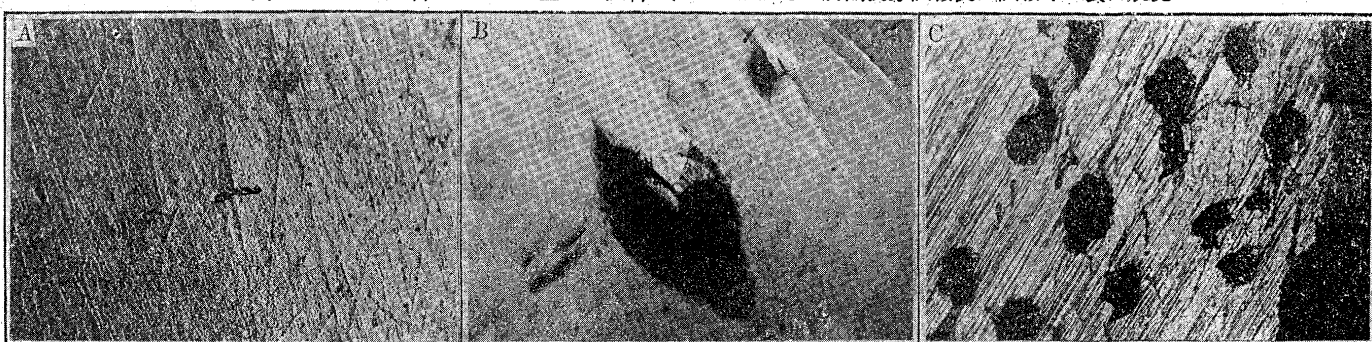
クロム鍍金を施した試験片に注水しつゝ疲労試験を行つたときの σ -N 線の傾斜は空氣中に於けるものよりも著しく下降するが(第17圖)鍍金せざるものよりも緩かである。即ちクロム鍍金によつて或る程度の防蝕作用が得られる事を示した。各試験片の注水による腐蝕状況を見るため試験後試験片の表面を検鏡せるに鍍金のはげず錆びてゐない部分では別に異状なく唯スラツグのある部分には鍍金が着いてゐないのみであったが其破壊部附近では鍍金層は腐蝕孔に

第 20 圖 $Ni-Cr$ 鋼試料に乳化油(1%)を注げるときの疲労試験後の試験片表面の腐蝕状況 試験片符號 E IX
($\sigma = 33.0 \text{ kg/mm}^2$ N = 3,153,700)



a 乳化油を注げる中央表面少しも錆なし
b 乳化油を注げる縁部表面特に錆を生ず

第 22 圖 $Ni-Cr$ 鋼試料のクロム鍍金せる試料に注水せるときの腐蝕疲労試験後の試験片の表面状況



試験片符號 Cr XII 試験片中央部
($\sigma = 24.21 \text{ kg/mm}^2$ N = 2,638,000) ×
ラツグの部分には鍍金着かず

破壊部附近鍍金層に大なる龜裂を生ず

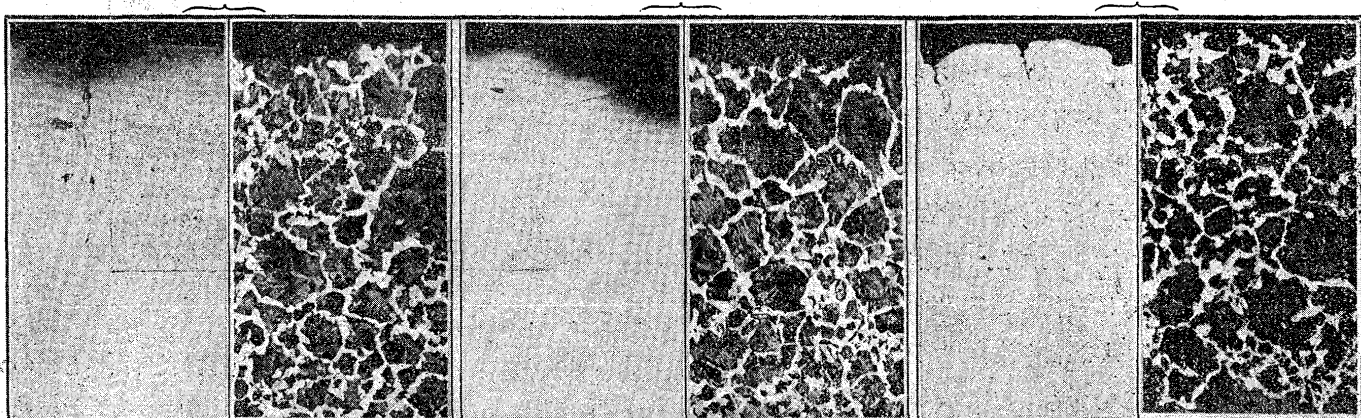
試験片符號 Cr VIII 破壊部附近
($\sigma = 30.84 \text{ kg/mm}^2$ N = 980,500)
鍍金層に多くの龜裂を生ず

外國製 $Ni-Cr$ 鋼ピストン棒試料の腐蝕疲労試験後に於ける試験片中央部縦断面状態 約 $\times 90$

第 23 圖

第 24 圖

第 25 圖



クロム鍍金試料に注水せるとき
試験片符號 Cr XI
($\sigma = 26.30 \text{ kg/mm}^2$ N = 3,336,000)

重クロム酸ソーダ溶液(0.02%)を注
げるとき
試験片符號 $Na_2Cr_2O_7$ VII
($\sigma = 24.72 \text{ kg/mm}^2$ N = 2,909,000)

クロム酸カリ溶液(0.02%)を注げる
とき
試験片符號 K_2CrO_4 II
($\sigma = 23.47 \text{ kg/mm}^2$ N = 31,917,700)

た（第24圖）之によつて見ると重クロム酸ソーダ溶液（0.02%）は或る程度の防蝕作用をするが強さの點に於ては保護作用を與へない事がわかつた

（6）クロム酸カリ溶液（0.02%）を注げるときの腐蝕疲労試験結果

疲労限界 内周部 16 kg/mm^2

其 σ -N 線によると其耐久力は注水の場合に比して初めは幾分よくより緩かな傾斜を示すが繰り返し回数325万回より急に傾斜が下る 而して腐蝕疲労限は注水の場合より 1 kg/mm^2 小で耐蝕保護效果の全くなき事を示した 此試験では試験片表面は蓬模様の黒褐色の錆を處々に呈してゐた クロム酸カリ溶液を注げるときの試験片の腐蝕疲労による破壊状態は各種の場合のそれと比較するに第25圖に示す如く著しく腐蝕する事がわかつた

（7）窒化試料に注水せるときの腐蝕疲労試験結果

疲労限界	20時間窒化	外周部	空氣中	48 kg/mm^2
同	同	注水		40 kg/mm^2
25時間窒化	同	同		41 kg/mm^2
30時間窒化	同	同		43 kg/mm^2

外周部試料の σ -N 線（第18圖）によると 520°C で20時間窒化せる試料の空氣中試験では其傾斜頗る緩かであつて水平に近く其疲労限界は窒化されざる外周部試料の空氣中に於けるものに比し 8 kg/mm^2 の上昇を示した 然るに注水試験に於ける窒化試料の σ -N 線傾斜は急勾配で降下し其腐蝕疲労強さは 0 kg/mm^2 を示し窒化せざる試料の空氣中に於ける疲労限と同じであった 内周部試料に20時間窒化せる試験片は試験の都合上一點を求めたのみであつた

次に外周部試料を 520°C で25時間窒化せる試料に注水腐蝕疲労試験を行つたときの σ -N 線の進行を見るに 520°C で20時間窒化せる試料の空氣中試験に於ける σ -N 線に平行した形をとり腐蝕疲労限は 41 kg/mm^2 であった 又 520°C で30時間窒化せる試料に注水せるときの σ -N 線は25時間窒化せる試料の σ -N 線と稍平行し其疲労限は 43 kg/mm^2 であった 之によつて見ると窒化を適當に施せば腐蝕疲労の強さは窒化せざる試料の空氣中の強さ以上にある事が判た 但し適當な窒化時間 窒化温度に關しては尙ほ研究を要するであらう

520°C 20時間窒化材料に注水腐蝕疲労試験を行つた場合に耐久性を著しく異にした二つの試料即ち試験片符號 NW XI ($\sigma = 42.45 \text{ kg/mm}^2$, $N = 2,313,800$) NW XIV ($\sigma =$

41.33 kg/mm^2 , $N = 6,506,400$) につき組織をしらべた處

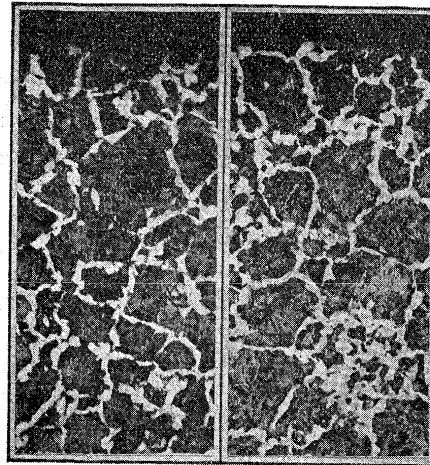
第26圖に示す如く窒化の影響を組織の上に表はす事は出

第26圖 Ni-Cr 鋼ピストン棒材料の20時間窒化試料の

注水疲労試験後に於ける試験片の顯微鏡組織 約 $\times 75$

試験片番號 NW XI 試験片番號 NW XIV

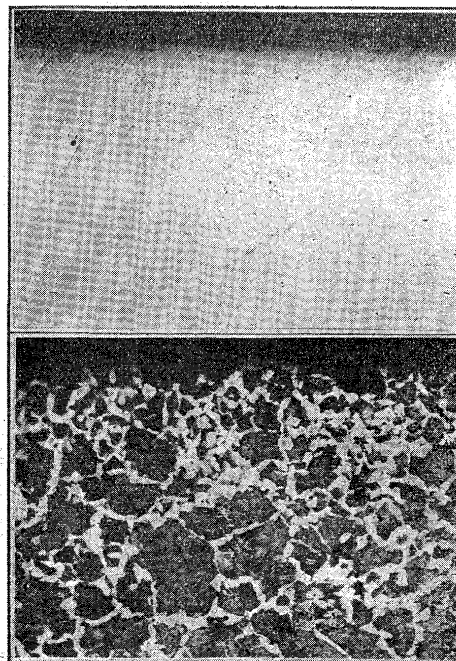
($\sigma = 42.45 \text{ kg/mm}^2$, $N = 2,313,800$) ($\sigma = 41.33 \text{ kg/mm}^2$, $N = 6,506,400$)



第27圖 Ni-Cr 鋼ピストン棒材料の30時間窒化試料の注水疲労試験後の縦断面状況

試験片符號 NW VII

($\sigma = 43.83 \text{ kg/mm}^2$, $N = 2,524,800$) 約 $\times 100$



來なかつた

30時間窒化せる試料に注水腐蝕疲労試験を行つたときの縦断面を見るに第27圖に示す如く其表面には何等龜裂がなく窒化により表面が硬化され水の腐蝕による切缺作用が防止される事を明示した

以上の各種の場合の實驗の主なる結果を摘錄すると第

19 表の如くである

第 19 表 外國製 Ni-Cr 鋼ピストン棒の腐蝕疲労試験結果

試験状況	疲労限界 (kg/mm^2)		比率	
	10^7		55×10^7	
	外周部	内周部	外周部	内周部
空 気 中	40	36	1'00	1'00
注 水		17		0'47
			13	0'36
乳化油 (1%) を注ぐ		28		0'78
重クロム酸ソーダ溶液 (0'02%) を注ぐ		23		0'64
クロム酸カリ溶液 (0'02%) を注ぐ		16		0'44
クロム鍍金せる試料に注水		22		0'61
窒化 (520°C) 試料 20 時間窒化) 空氣中	48		1'20	
窒化 (520°C) 試料 20 時間窒化) に注水	40		1'00	
窒化 (520°C) 試料 25 時間窒化) に注水	41		1'03	
窒化 (520°C) 試料 30 時間窒化) に注水	43		1'08	

11 総括 本実験結果を総括すると次の如くである

(1) 低 Ni-Cr 鋼ピストン棒の空氣中疲労限界は棒の内外周部に於て相當著しい差がある

(2) 注水により腐蝕作用を受ける場合の疲労強さは著しく弱まり繰り返し数 10^7 に於ける内周部のそれは空氣中のもの、0'47 に低下し繰り返し数 55×10^7 に於ては其 36% となり尚且降下の傾向を示す

(3) クロム鍍金試料に注水せるとき及重クロム酸ソーダ (0'02%) 溶液を注ぐときの腐蝕疲労限界は鍍金を施さざる材料の空氣中疲労限界に比し著しく低きも注水の場合のものよりは高く注水による腐蝕作用を或る程度まで保護する

(4) クロム酸カリ溶液 (0'02%) を注ぐときの疲労強さは注水の場合よりも低下し保護作用は全くない

(5) 乳化油 (1%) を注ぎしときの腐蝕疲労限界は空氣中の場合より低きも注水の場合に比すると著しき上昇を示し乳化油は水に依る腐蝕作用を最も效果よく防止する

(6) 窒化試料に注水せるときの腐蝕疲労限界は窒化せざる試料の空氣中疲労限界以上を保持し窒化に依り腐蝕疲労は完全に防止される

(7) 以上の事實よりピストン棒材料の低合金 Ni-Cr 鋼に對し水による腐蝕疲労の破壊を防止するには窒化を施すことが實施上困難なるを思へば乳化油を冷媒として使用することが比較的効果ある方法と信ぜられる

IV. 當所製炭素鋼ピストン棒の 壓延材及鍛鍊材の腐蝕疲労試験

12 實驗項目 前述の I の 3 に記載せる方針に從て次の場合につき疲労試験を行た

(1) 壓延材の疲労試験

(a) 空氣中 (b) 注水

(2) 鍛鍊材の疲労試験

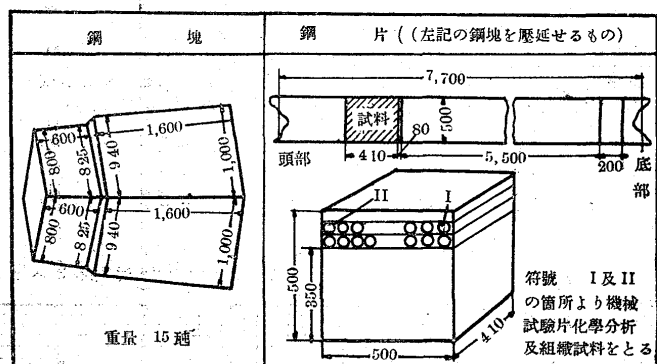
(a) 空氣中 (b) 注水

第 1 回試験ではピストン棒の原鋼片である壓延したまゝの材料から採取した試験片につき疲労限界を見出し 第 2 回試験では其の壓延材を 33% 鍛鍊せる儘の材料から探した試料につき疲労限界を見出し鍛鍊度が疲労強さに及ぼす影響を研究する事とした

13 實驗材料

(a) 試験片の採取位置 第 1 回試験に於ける炭素鋼試料は當所鑄造工場酸性平爐にて抗張力 $60 kg/mm^2$ を目標に製作されたピストン棒の壓延材からとった 卽ち第 28 圖に示す如く 15 穴鋼塊が分塊工場にて壓延され長さ 7,700 mm の 500 mm 角鋼片に製作された 其の中央部分の長さ 5,500 mm の部分は其後鍛鍊され焼鈍されてピストン棒に製作された 而して残れる 500 mm 角鋼片壓延材の

第 28 圖 當所製炭素鋼ピストン棒壓延材の試料採取方法



第 20 表 靜的試験成績

試験片 符號	抗張力 (kg/mm^2)	降伏點 (kg/mm^2)	延伸率 (%)	斷面收縮 (%)	彈性係数 (kg/mm^2)
1	64.2	44.5	22.0	31.6	21,150
2	61.7	42.3	24.0	37.7	22,150
平均	63.0	43.4	23.0	34.7	21,650

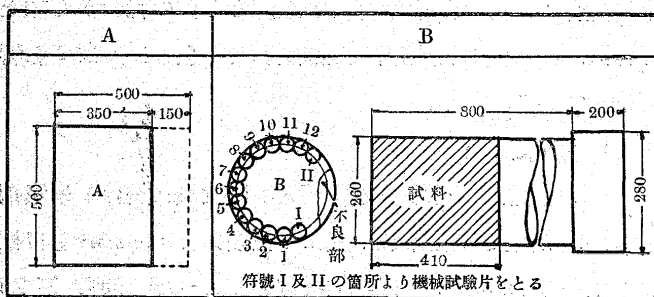
第 21 表 化學成分 (%)

試料符號	C	Si	Mn	P	S	Cu
1	0.46	0.172	0.64	0.021	0.013	0.20
2	0.49	0.176	0.69	0.021	0.012	0.19
平均	0.48	0.174	0.67	0.021	0.012	0.20

鋼塊の頭部にあたる部分から圖示せる如く鋼片の長さに沿ひ試験片が採取された

第2回試験の炭素鋼試料の採取方法は第29圖に示す如く第1回試験の試験片が採取された 500 mm 角壓延鋼片から第1回試験試料をとり去た残りの 500×350 mm 角鋼片を鍛冶工場にて鍛鍊度 33% にて直徑 260 mm の丸形材料を鍛造しそれから試験片を採取した。此際鋼塊の頭部に相當する部分は材質不均一の恐れあるを以て不良部分と認められる處は切り捨て良質と思はるゝ部分の外周部より試料をとつた。

第29圖 當所製炭素鋼ピストン棒鍛鍊材試料の採取方法

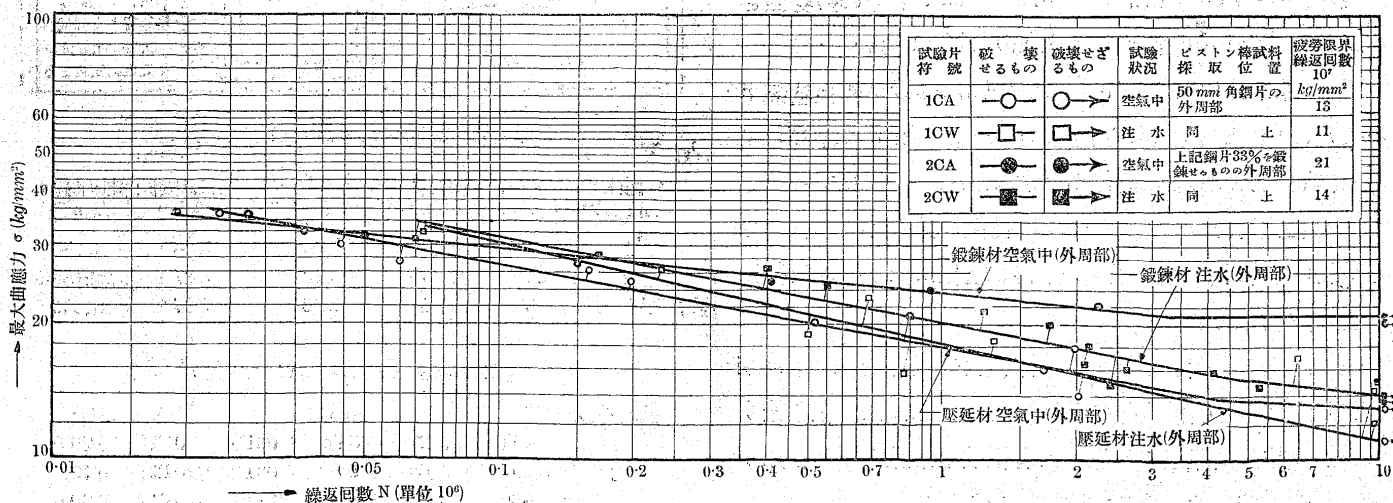


鍛鍊度				
材 料	寸 法 (mm)	面 積 (mm ²)	断面減少率(%)	備 考
A	350×500	17,500	100	AをBの寸法に鍛鍊し試料
B	径 260	53,066	33	を採取す(不良部分除去す)

第22表 靜的試験成績

試験片符號	抗張力 (kg/mm ²)	降伏點 (kg/mm ²)	延伸率 (G.L.=50mm) (%)	断面收縮率 (%)	彈性係数 (kg/mm ²)
I	60.0	40.8	22.0	36.4	21,590
II	58.9	40.2	26.0	38.0	21,830
平均	59.4	40.5	24.0	37.2	21,685

第31圖 當所製炭素鋼ピストン棒の壓延材及鍛鍊材のσ-N線圖



(b) 試験片の機械的性質 化學成分及組織 第1回試験の壓延材よりとれる試験片の機械的性質及化學成分は第

第23表 化學成分(%)

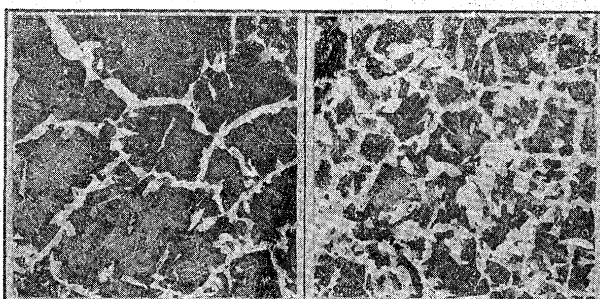
試料符號	C	Si	Mn	P	S	Cu
I	0.47	0.169	0.63	0.023	0.012	0.20
II	0.46	0.175	0.69	0.012	0.012	0.19
平均	0.47	0.172	0.66	0.012	0.012	0.20

20表及第21表に示され其の組織は第30圖に示す如くで鋼塊の組織に近く粒子大であた

第2回試験の鍛鍊材から採た試料の機械的性質及化學成分は第22表及第23表に示され 其組織は第30圖に示す如くで鍛鍊されたために細かくなつてゐた

第30圖(約×36)

當所製炭素鋼ピストン棒壓延材及鍛鍊材の顯微鏡組織
壓延材 試料符號2 鍛鍊材 試料符號II



14 實驗結果 當所製炭素鋼ピストン棒(抗張力 60 kg/mm²程度)の壓延材及鍛鍊材の試料に対する空氣中及注水に於ける疲労試験結果は第24表より第27表までに示す如くであつて其 σ-N 線の關係は第31圖に示されるそれによると各種の場合の結果は次の如くである

(1) 炭素鋼壓延材の疲労試験結果

(a) 空氣中の試験結果 疲労限界 外周部 13 kg/mm²

其 σ -N 線の進行は絶えず降下した

(b) 注水に於ける試験結果 疲労限界 外周部 11 kg/mm^2

其 σ -N 線の進行は常に降下し 繰返回数 10^7 に於ても尚傾斜する 其腐蝕疲労限界は空氣中のものより 2 kg/mm^2 低く注水による腐蝕疲労限の低下率は比較的僅かであった

(2) 炭素鋼の鍛錬材の試験結果

(a) 空氣中の試験結果 疲労限界 外周部 21 kg/mm^2

其 σ -N 線によると材料が鍛錬された為に壓延材試料に比し耐久力を増し疲労限界に於て 8 kg/mm^2 の増加を示した

(b) 注水による試験結果 疲労限界 外周部 14 kg/mm^2

其 σ -N 線の進行過程は空氣中のものより著しく降下し 疲労限界に於て 7 kg/mm^2 の減少を示した 之を前試験試料の腐蝕疲労限界の 11 kg/mm^2 に比すれば 3 kg/mm^2 の増

第 32 圖 炭素鋼ピストン棒鍛錬材の注水

による腐蝕疲労試験後の試験片の縦断面状況

試験符号 2CW V 約 $\times 150$ × 3

(A) (B)



破壊を起す事が明かである 而して其龜裂は(B)圖に示す

第 28 表 當所製炭素鋼ピストン棒の壓延材及鍛錬材の
腐蝕疲労試験結果

試 料	試 験 状 況	疲労限界(kg/mm^2)		比 率 腐蝕疲労限界 空氣中疲労限界	
		繰返回数 10^7			
		外 周 部	外 周 部		
壓延材	空 気 中 水	13	—	—	
	注 水	11	—	0.85	
鍛錬材	空 気 中 水	21	—	—	
	注 水	14	—	0.67	

白色部であるフェーライトを横断してゐた

以上の各種の実験の主なる結果を明かにするため彎曲疲労強さを摘録すると 第 28 表に示す如くである

15 総 括 本実験結果を總括すると次の如くである

(1) 炭素鋼ピストン棒の壓延のまゝの試料では注水の際の疲労限界は空氣中のものより僅かに 15% の減少を示した

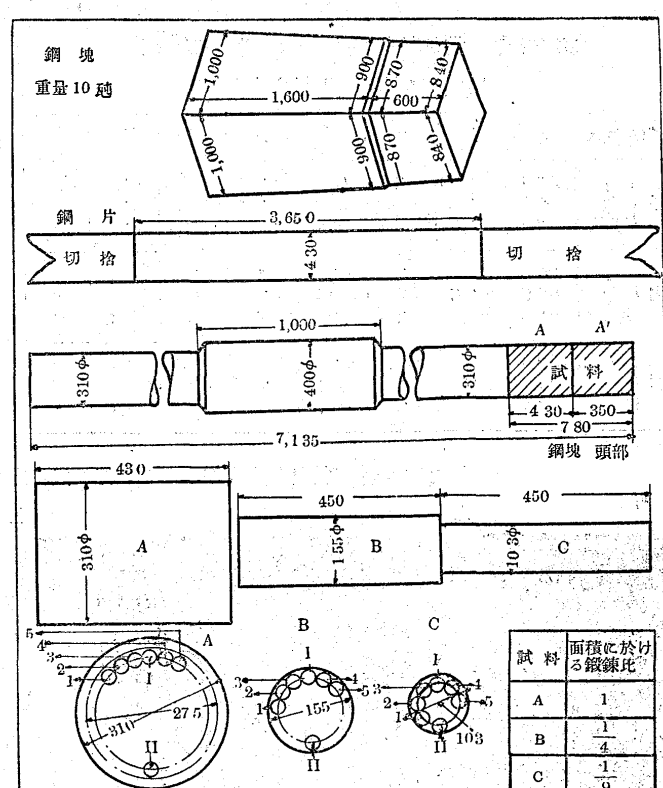
(2) 此壓延鋼片を 33% 鍛錬したものでは壓延材のそれに比し空氣中の疲労限界は 62% の増加を示し 注水に於ける腐蝕疲労限界は 27% の増加を示した 即ち鍛錬によって疲労の強さは増加し且腐蝕疲労が防止される

IV. 當所製炭素鋼ピストン棒の鍛錬度

を異にせる材料の疲労試験

16 實驗項目 本試験に使用した當所製炭素鋼ピストン棒材料は當所發電所 3,000 馬力瓦斯機關用の新製品材料であるが送風機瓦斯機關用のものと同じ状態で使用されるので此材料につき實験することにした 而して前述の I の 3 に記載せる方針に従て次の場合につき空氣中疲労試験を行た

第 33 圖 當所製炭素鋼ピストン棒の鍛錬度
を異にせる材料の試料採取方法



試料位置	A	B	C	備 考
採取試料	疲 労 試 験 片	1~5	1~5	1~5
	機 械 試 験 片	I, II,	I, II,	I, II,
	分析及組織寫眞試料	I, II,	I, II,	I, II,

(1) 面積に於ける鍛鍊比 1 の場合

(2) 面積に於ける鍛鍊比 1/4 の場合

(3) 面積に於ける鍛鍊比 1/9 の場合

即ち鍛鍊比が異なるときの疲労限界の變化状態を見出さんとした。

17 實驗材料

(a) 試験片の採取位置 第 33 圖に示す如く當所鑄造工場製 10 吨鋼塊を壓延して鋼片を作り 之を鍛鍊して圖示の如き直徑 310 mm の材料を製作した。此材料より使用するべきピストン棒材料の所要寸法を取り去り残れる部分の鋼塊の頭部に相當する部分から A 及 A' なる 2 個の材料を切り取た。A 材料は其儘とし A' 材料は更に A 材の面積の 1/4 及 1/9 に鍛鍊して B 及 C 材料を製作した。之等の材料を何れも 820~840°C に燒鈍し 其斷面寸法により 2~6 時間に於て夫々適當に保定した後其外周部から圖示せる如く試験片を採取した。

(b) 試験片の機械的性質 化學成分及組織 之等の試料

第 29 表 當所製炭素鋼ピストン棒の鍛鍊度を異にする材料の化學成分(%)

試料位置	C	Si	Mn	P	S	Cu	Ni	Cr
A { I II 平均	0.57	0.17	0.76	0.04	0.02	0.14	0.13	痕跡
	0.58	0.16	0.75	0.03	0.02	0.13	0.13	〃
	0.58	0.17	0.76	0.04	0.02	0.14	0.13	〃
B { I II 平均	0.58	0.17	0.76	0.03	0.02	0.14	0.13	〃
	0.58	0.16	0.74	0.03	0.02	0.14	0.12	〃
	0.58	0.17	0.75	0.03	0.02	0.14	0.13	〃
C { I II 平均	0.59	0.17	0.75	0.03	0.02	0.14	0.14	〃
	0.57	0.16	0.76	0.03	0.02	0.15	0.13	〃
	0.58	0.17	0.76	0.03	0.02	0.15	0.14	〃

第 30 表 當所製炭素鋼ピストン棒の鍛鍊度を異にする材料の靜的試験成績

試料位置	抗張力 (kg/mm ²)	降伏點 (kg/mm ²)		破斷界 (kg/mm ²)	延伸率 G.L=50 mm (%)	斷面收縮率 (%)	彈性系數 (kg/mm ²)
		上	下				
A { I II 平均	63.0	33.8	30.5	96.8	31.0	44.3	20,600
	63.1	34.9	31.0	97.2	27.5	44.3	20,800
	63.1	34.4	30.8	97.0	29.3	44.3	20,700
B { I II 平均	64.7	36.6	32.7	101.8	30.0	46.3	20,650
	63.5	35.1	32.0	99.6	29.0	45.8	20,800
	64.1	35.9	32.4	100.7	29.5	46.1	20,705
C { I II 平均	64.2	33.8	31.8	103.4	28.5	46.9	20,600
	64.3	34.1	32.6	102.0	28.0	45.8	20,600
	64.3	34.0	32.2	102.7	28.3	46.4	20,600

より採取した試験片の化學成分及機械的性質は第 29 表及第 30 表に示す如くであつて化學成分に於ては A B C 材料の間には大差なく抗張力に於ては A 材料は 63.1 kg/mm² であつて B 及 C の材料は之より僅に 1 kg/mm² の增加を示した。又其組織は第 34 圖に示す如くで此等材料の間に粒子に於て大なる差異がなかつた。

18 實驗結果 當所製炭素鋼ピストン棒の鍛鍊度を異にする試料の空氣中疲労試験結果は第 31 表より第 33 表までに示す如くであつて其 σ-N の關係は第 35 圖に示される。それによると各種の場合の結果は次の如くである。

(1) 鍛鍊比が面積に於て 1 なるときの材料の疲労試験結果

疲労限界 23 kg/mm²

其 σ-N 線の進行は繰返數 350 萬邊より水平になつた。

(2) 鍛鍊比が面積に於て 1/4 なるときの材料の疲労試験結果

疲労限界 26 kg/mm²

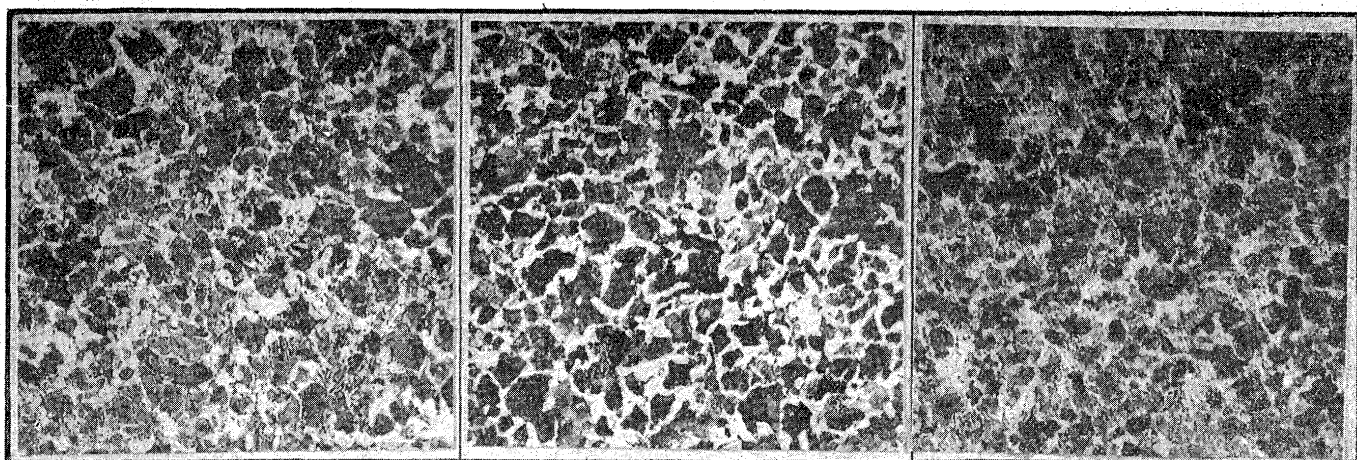
即ち鍛鍊比 1 の場合に比し耐久限の上昇は 3 kg/mm² で

第 34 圖 當所製炭素鋼ピストン棒の鍛鍊度を異にする材料の顯微鏡組織 (×150 を縮寫)

A I

B I

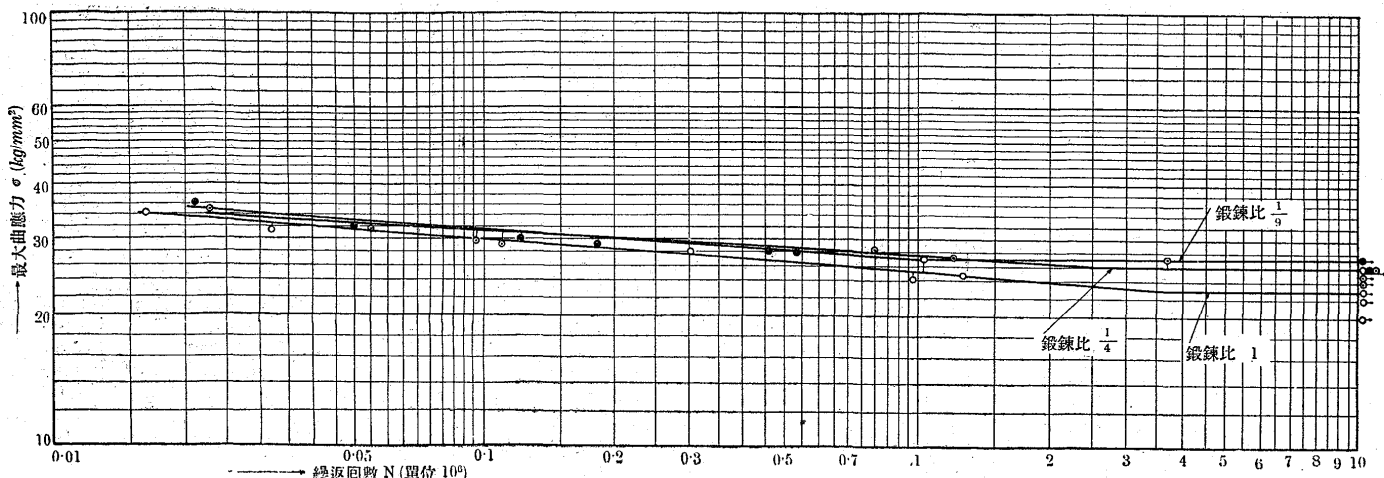
C I



徑 310 mm に鍛鍊、徑 275 mm に仕上せるもの外周部

徑 310 mm を面積に於て 1/4 に鍛鍊せる材料の外周部

徑 310 mm を面積に於て 1/9 に鍛鍊せる材料の外周部

第35圖 當所製炭素鋼ピストン棒の鍛錬度を異にする材料の σ -N線図

試験片番号	破壊するもの	壊さるもの	試験状況	ピストン棒試料採取位置	面積に於ける鍛錬比	疲労限界 σ (kg/mm²)
A	○	○	空氣中	外周部	1	23
B	○	○	空氣中	同	1/4	26
C	●	●	空氣中	同	1/9	27

13% の増加である。其 σ -N線の進行は繰返数 250 萬回より水平となった。

(3) 鍛錬比が面積に於て 1/9 なるときの材料の疲労試験結果

疲労限界 27 kg/mm^2

此耐久限は鍛錬比 1 の材料のそれに比すると 4 kg/mm^2 の上昇で 17.4% の増加を示した。其 σ -N線の進行に於ては繰返数 100 萬回より水平となり、鍛錬の増すにつれて σ -N線の直線部分の接點は左に移動する事を示した。

19 総括

本実験結果を総括すると次の如くなる。

- (1) 鍛錬比を異にする各試料の化學成分及其抗張力には大した變化がない。
- (2) 然るに鍛錬比を増すにつれて試料の疲労限界は著しく高まる。

V 當所製炭素鋼ピストン棒の腐蝕疲労試験

20 實驗項目

前述の I の 3 に記載せる一般方針に從て次の場合に就き疲労試験を行った。

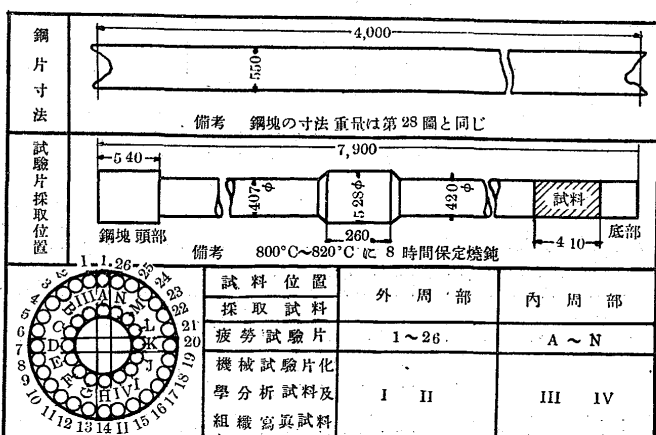
- (1) 空氣中
- (2) 注水
- (3) 乳化油(1%)を注ぐ
- (4) 重クロム酸ソーダ溶液(0.02%)を注ぐ
- (5) クロム酸カリ溶液(0.02%)を注ぐ

以上の場合に於けるピストン棒の内外周部試料につき疲労強さを見出さんとした。

21 實驗材料

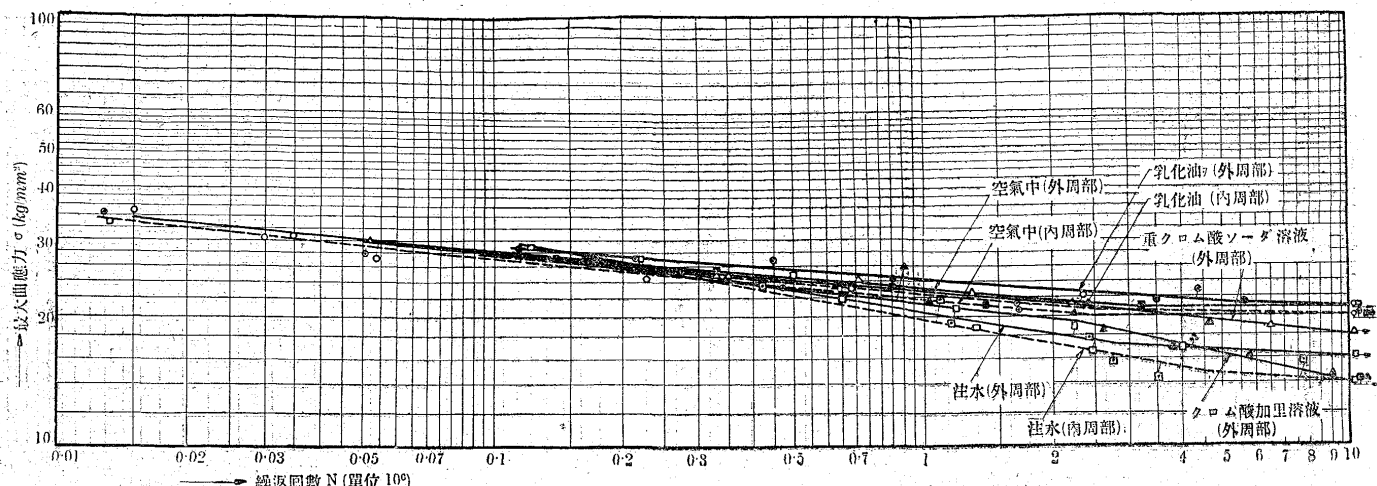
(a) 試験片の採取位置 當所鑄造工場製 15 吨鋼塊(第28圖)を 550 mm 角× $4,000 \text{ mm}$ 長さの鋼片に壓延し外輪工場ハンマーにて第36圖に示す如き寸法形狀にまで鍛錬し $800\sim820^\circ\text{C}$ にて 8 時間保定焼鈍した後 規定寸法のピストン棒を製作しその鋼塊の底部に相當する部分の端に近き位置より試験片を採取した。而して横断面に圖示せる如くピストン棒の内外周部より疲労試験片 機械試験片及化學成分並に組織寫眞試料を探た。

第36圖 當所製炭素鋼ピストン棒試料採取方法



第34表 靜的試験成績

試料位置	抗張力 (kg/mm^2)	降伏點 (kg/mm^2)	延伸率 $GL=50\text{mm}$ (%)	断面收縮率 (%)	彈性係數 (kg/mm^2)
外周部	I	54.6	26.1	32.8	20.4.5
	II	54.6	26.4	32.0	21.50
	平均	54.6	26.3	32.4	20.738
内周部	III	52.6	38.7	13.2	20.300
	IV	54.6	34.5	31.0	20.850
平均		53.6	36.6	32.1	20.575

第38圖 當所製炭素鋼ピストン棒材料の σ -N線圖

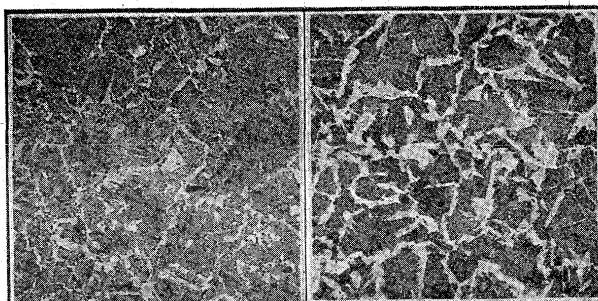
試験片 符 號	破 壊 せ る も の	破 壊 せ ざ る も の	試験状況	ピストン 棒試料採 取位置	疲労限界 繰り返し数 10^7 (kg/mm²)	
					外周部	内周部
3CA	○	○	空 気 中	外周部	21	
3CA	●	●	空 気 中	内周部	20	
3CW	□	□	注 水	外周部	16	
3CW	■	■	注 水	内周部	14	
3CE	●	●	乳化油(1%)を 注ぐ	外周部	21	
3CE	■	■	乳化油(1%)を 注ぐ	内周部	20	
3C $Na_2Cr_2O_7$	△	△	重クロム酸ソーダ 1%溶液を注ぐ	外周部	18	
3C K_2CrO_4	▲	▲	クロム酸加里 1%溶液を注ぐ	外周部	19	

第35表 化学成分(%)

試料位置	C	Si	Mn	P	S	Cu
外周部	I	0.52	0.159	0.63	0.032	0.017
	II	0.50	0.156	0.67	0.031	0.022
	平均	0.51	0.158	0.65	0.032	0.020
内周部	III	0.46	0.160	0.66	0.033	0.019
	IV	0.47	0.167	0.66	0.04	0.016
	平均	0.47	0.164	0.66	0.027	0.018

(b) 機械的性質 化學成分及組織 炭素鋼ピストン棒から取た内外周部試料の機械的性質及化學成分は第34表及第35表に示され其の組織は第37圖に示す如くである。それによるとピストン棒は抗張力 60 kg/mm^2 を目標として製作されたものであったが實際には稍低い抗張力を示した。又分析成分によるとピストン棒の外周部は内周部よりも炭素含有量稍大であつて組織寫真によると外周部は内周部よりも粒子小さくペーライトを多く含んでゐた。

22 實驗結果 當所製炭素鋼ピストン棒の内外周部試料の空氣中及び腐蝕疲労試験結果は第36表より第43表までに示され其 σ -N線圖は第38圖に示される。而して各種の場合の試験結果は次の如くである。

第37圖 炭素鋼ピストン棒の内外周部試料の顯微鏡組織
外周部 I ($\times 50 \times 1/3$) 内周部 II

(1) 空氣中に於ける試験結果

疲労限界 外周部 21 kg/mm^2 内周部 20 kg/mm^2 外周部と内周部とに於けるその差は 1 kg/mm^2 であった。

(2) 注水せるときの試験結果

疲労限界 外周部 16 kg/mm^2 内周部 14 kg/mm^2

その數値の内周部による差は 2 kg/mm^2 であった。内外試料共その σ -N線の進行は空氣中のものに比し著しく低下し腐蝕疲労限は空氣中のものに比し 5 及 6 kg/mm^2 の低下を示した。腐蝕疲労試験後の試料を見るに表面は著しく赤錆を呈しその縦断面には切缺作用による腐蝕龜裂を生じて居りその龜裂は粒子を横断してゐた(第39圖)。

(3) 乳化油(1%)注液による試験結果

疲労限界 外周部 21 kg/mm^2 内周部 20 kg/mm^2

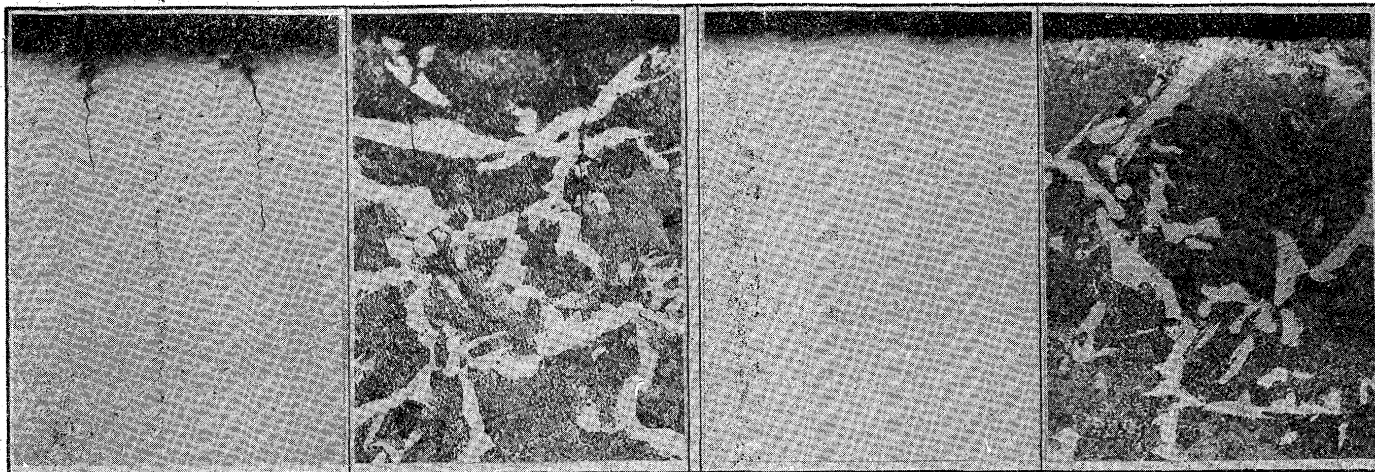
その内 外周部に依る限界値の差は 1 kg/mm^2 であった。内外周部試料ともその σ -N線の進行は空氣中のそれに對し常に上位を保ち繰り返し数 10^7 に於て初めて一致した。即ち乳化油により繰り返し数 10^7 以内では腐蝕疲労は完全に防止される事を示した。而してその σ -N線の傾斜の水平に近き事は乳化油により腐蝕疲労限の高さが長く支持される事を示す。此等の場合に於ける試験片は常に輝いた表面

炭素鋼ピストン棒試料の腐蝕疲労試験後の縦断面状態

第39圖 注水せるととき試験片 3CWX

 $(\sigma = 18.40 \text{ kg/mm}^2 \quad N = 2,232,500)$

第40圖 乳化油(1%)を注ぎしとき試験片 3CEVI

 $(\times 150 \text{ を } \% \text{ に縮寫})$ $(\sigma = 21.71 \text{ kg/mm}^2 \quad N = 3,503,400)$ 

炭素鋼ピストン棒試料の腐蝕疲労試験後の縦断面状態

第41表 重クロム酸ソーダ溶液(0.02%)を注ぎしとき

試験片 3C $\text{Na}_2\text{Cr}_2\text{O}_7$ $(\sigma = 21.2 \text{ kg/mm}^2 \quad N = 2,216,600)$

第42圖 クロム酸カリ(0.02%)溶液を注ぎしとき

試験片 3C $\text{K}_2\text{CrO}_4\text{II}$ $(\sigma = 19.94 \text{ kg/mm}^2 \quad N = 2,224,200)$ 

を呈してゐた。その試験後のものゝ縦断面を見るに全く龜裂がなかつた（第40圖）この保護效果は乳化油により表面に油膜が着き水の浸入を防ぐ爲であると思はれる。

(4) 重クロム酸ソーダ溶液(0.02%)を注ぎしときの試験結果

疲労限界 外周部 18 kg/mm^2

その σ - N 線によると應力範囲が空氣中疲労限以上にあるときはその耐久性は空氣中試験に於けるものと殆ど一致するがそれが空氣中疲労限以下になると耐久性が著しく減じ急激に降下した。而して腐蝕疲労強さは注水によるものより 2 kg/mm^2 の上昇を示した。この場合も試料表面は常に輝いてゐた。試験後の試料の縦断面状況は第41圖に示される。

第44表 當所製炭素鋼ピストン棒の腐蝕疲労試験結果

試験状況	疲労限界 (kg/mm^2)		比率		
	繰り返し数 10^7	外周部	内周部	外周部	内周部
空 気 中	21	20			
注 水	16	14	0.76	0.70	
重クロム酸ソーダ溶液 (0.02%)を注ぐ	18		0.86		
クロム酸カリ溶液(0.02%) を注ぐ	14		0.67		
乳化油(1%)を注ぐ	21	20	1.00	1.00	

(5) クロム酸カリ溶液(0.02%)を注ぎしときの試験結果

疲労限界 外周部 14 kg/mm^2

その σ - N 線によると繰り返し数 225 萬遍より急に降下し遂に注水の場合より 2 kg/mm^2 低い疲労限界に到達した。

從てこの溶液使用は何等の保護作用なきことを示した 試験後の試料を見るにその縦断面には著しき龜裂を生じてゐた(第42圖)以上の主なる實驗結果を明らかにするため疲労限界を摘録すると次の第44表の如くになる

23 総 括 本實驗結果を總括すると次の如くである

(1) 炭素鋼ピストン棒の空氣中疲労限界は外周部では内周部より大であるがその差は 1kg/mm^2 であった

(2) 注水による腐蝕疲労限界は空氣中に於けるものより外周部で 24% の低下を内周部で 30% の低下を示す

(3) 乳化油(1%)注液のときは内外周部試料共空氣中に於けるもの以上に耐久性を保持し繰回国数 10^7 の實驗範囲内に於ては腐蝕疲労は完全に防止された

(4) 重クロム酸ソーダ溶液(0.02%)を注ぐときは注水による腐蝕作用を或程度迄保護する

(5) クロム酸カリ溶液(0.02%)を注ぐときは注水の場合よりもその耐久性は降下し全く保護效果はない

VI 結 論

以上の各種鋼のピストン棒の試験結果を総合すると次の如くである

1. Ni-Cr 鋼及抗張力 60kg/mm^2 の炭素鋼ピストン棒材料が水により腐蝕作用を受けると其疲労強さは兩者共著

しく低下するが炭素鋼に於ける降下率は合金鋼に於けるものよりも著しく小である

2. その $\sigma-N$ 曲線の傾斜によると繰回国数を更に著しく大にするとこの2種の鋼の注水による腐蝕疲労強さは大差なくなるものと見られ 従てかかる場合高價なる Ni-Cr 鋼を使用することは炭素鋼に比して何等利益がない

3. 窒化鋼は實際使用困難であるが腐蝕疲労を完全に防止する

4. 乳化油の使用は各種防蝕法中で最も效果を示し殊に炭素鋼の實驗範囲内では腐蝕疲労は完全に防止された

5. ピストン棒をよく鍛鍊する事は空氣中の疲労限を高むるのみならず腐蝕疲労の防止に效果がある

6. 以上の事實よりピストン棒材料の鋼の水による腐蝕疲労を防止するには炭素鋼の鍛鍊度高き材料を用ひ冷媒として乳化油を使用する事が最も效果ある對策である

終りに臨み御高庇を辱ふしたる景山常務取締役 鶴澤技師長並に金子恭輔博士 多くの試験片の製作等につき甚大なる御援助を賜はりたる第一工作課長松原正良技師に深甚なる感謝の意を表し 尚ほ研究に多大なる御援助を與へられたる吉田清三郎氏 末藤作次氏 奥隆富氏 森寺技師並に窒化試料を供せられたる田澤技師に厚く感謝の意を表するものである

第7表～第13表 外國製 Ni-Cr 鋼ピストン棒材料の疲労試験成績

第7表 空氣中試験 外周部試料

試験片 符號	荷重 kg	破壊 面の 直徑 $d(\text{mm})$	荷重より までの距 離 $l(\text{mm})$	最大 曲應力 $\sigma(\text{kg/mm}^2)$	繰回国数 N	試験 所要 時間 $h-m$	室温 $^{\circ}\text{C}$	備考
A I	70.88	7.40	32.00	57.56	50,600	-28.21	室温は破 壊時の温 度を示す	
A II	67.47	6.45	21.52	53.38	99,400	-58.21		
A III	54.43	10.44	76.04	43.86	429,200	3-42.24		
A XXIII	55.87	10.34	69.20	42.00	10,125,000	90-40.25	破裂せず	
A XXIV	64.25	10.37	69.91	41.00	10,125,000	90-40.25		
A XVIII	62.89	9.37	52.26	40.73	5,469,400	49-49.27		
A XVII	51.36	11.32	93.57	40.32	1,082,000	9-36.27		
A XI	62.70	10.32	68.84	40.00	10,175,500	91- 5.27	破裂せず	
A XXII	60.64	10.26	68.20	39.00	10,175,500	91- 5.27	"	
A IV	51.36	10.86	79.04	38.57	10,442,100	88-46.26	"	

第8表 空氣中試験 内周部試料

試験片 符號	荷重 kg	破壊 面の 直徑 $d(\text{mm})$	荷重より までの距 離 $l(\text{mm})$	最大 曲應力 $\sigma(\text{kg/mm}^2)$	繰回国数 N	試験 所要 時間 $h-m$	室温 $^{\circ}\text{C}$	備考
A XI	70.56	9.94	63.53	46.49	170,700	1-28	24.5	
A XII	64.49	9.87	60.56	43.30	360,700	3- 0	24.5	
A XIV	64.43	10.16	67.49	42.23	196,700	1-39	24.5	
A VII	63.89	10.09	65.33	41.70	320,500	2-46	19	
A V	63.89	10.14	66.59	41.56	270,100	2-20	19	
A XIV	58.29	10.42	74.65	39.18	1,387,300	11-46	20.5	
A XIII	59.83	11.18	89.19	38.90	2,052,200	18-36	20.5	
A XVI	56.76	10.71	81.86	38.52	1,488,300	11-43	24.5	
A VII	61.36	11.82	101.03	38.24	850,100	7-11	25.5	
A XX	56.76	10.00	64.97	37.84	877,200	7-47	27	
A XXVII	57.15	10.45	72.53	37.00	10,163,900	90-50	27	破裂せず
A IX	55.22	10.42	74.24	36.91	10,114,100	86- 7	27	"
A XXV	57.82	11.15	86.66	36.81	1,601,900	14-20	23	
A XXVI	55.34	10.91	84.43	36.65	1,375,200	12-15	25	
A XXVIII	55.37	10.41	72.01	35.00	10,163,900	90-50	27	
A X	52.16	10.29	72.04	35.13	10,114,100	86- 7	27	
A VIII	58.29	9.15	44.54	34.52	1,420,600	11-54	25	
A IX	53.69	10.39	70.77	34.50	10,127,700	90- 8	27	破裂せず

第9表 注水試験 内周部試料

試験片 符號	荷重 kg	破壊 面の 直徑 d(mm)	荷重點より 破壊までの 距離 l(mm)	最大 曲應力 $\tau(kg/mm^2)$	繰り返し回数 N	試験所要時間 h-m	水温 °C	備考
W VII	61.36	10.88	62.08	37.73	400,000	3-28 22	水温は破壊時と温度を示す	
W VIII	55.22	11.23	85.70	34.98	563,900	4-58 23		
W II	46.02	11.06	87.15	29.32	900,60	7-45 24		
W I	49.09	10.59	69.49	29.26	926,900	7-59 24		
W III	42.95	10.86	81.09	27.70	1,966,200	16-40 24.5		
W IV	39.88	11.34	88.87	24.76	4,041,300	34-18 22	破壊せず	
W V	36.82	10.62	75.84	23.75	10,100,400	84-55 19		
W X	35.28	10.20	65.49	22.18	2,924,100	26-07 29		
W VI	33.75	11.43	82.92	21.35	6,463,700	54-13 21		
W IX	32.21	9.59	69.61	20.66	3,202,000	29-0 29		
W XII	30.68	11.57	93.65	18.90	4,019,000	35-29 29		
W XI	29.15	9.98	60.53	18.07	6,015,40	53-30 31		
W XIV	26.08	10.55	75.27	17.02	10,206,400	90-15 30	破壊せず	
W XIII	24.54	11.55	95.30	15.47	8,05,500	71-35 30		
W XVI	23.01	10.46	73.24	15.00	10,155,100	90-0 34	破壊せず	
W XVII	23.01	9.50	53.56	14.64	17,473,500	163-52 35	破壊せず	
W XV	21.48	10.41	72.31	14.03	10,155,100	90-0 34		
W XVIII	21.48	11.2	87.85	13.43	21,399,300	198-58 33		
W XX	19.94	10.23	69.28	13.00	55,005,100	47-05 30	破壊せず	
W XXI	18.41	10.37	71.36	12.00	55,005,100	477-05 30	"	

第11表 クロム鍍金せる試料に注水せる試験 内周部試料

試験片 符號	荷重 kg	破壊 面の 直徑 d(mm)	荷重點より 破壊までの 距離 l(mm)	最大 曲應力 $\tau(kg/mm^2)$	繰り返し回数 N	試験所要時間 h-m	水温 °C	備考
Cr I	70.56	11.03	83.46	44.70	230,300	2-05 20		
Cr II	67.49	11.82	99.73	41.52	243,900	4-15 20		
Cr III	64.43	11.51	94.26	40.57	314,100	2-44 21		
Cr IV	61.36	11.43	95.71	40.06	480,900	4-09 21		
Cr V	58.29	11.88	104.79	37.11	390,600	4-37 21		
Cr VI	55.22	11.92	104.05	34.55	658,900	5-54 22		
Cr VII	52.16	11.79	100.62	32.62	1,021,200	8-59 22.5		
Cr VIII	49.09	11.55	95.03	30.84	980,500	8-37 22.5		
Cr IX	46.02	11.25	89.54	29.49	1,497,800	13-12 20		
Cr X	42.95	10.91	62.92	28.65	5,563,600	48-32 20		
Cr XI	41.42	11.32	90.41	26.30	3,336,000	28-45 26		
Cr XIII	39.88	11.41	93.00	25.43	7,640,300	65-56 17		
Cr XIII	38.35	11.39	91.57	24.21	2,668,000	22-59 25.5		
Cr XIV	36.82	11.43	94.89	23.83	6,535,000	60-14 17		
Cr XIV	36.82	11.31	89.95	23.32	8,549,800	74-04 17		
Cr XVI	33.75	10.18	70.73	23.05	10,233,500	92-24 12		
Cr XI X	34.14	9.79	60.52	22.42	1,874,900	16-29 25		
Cr XVIII	35.28	8.96	43.00	21.45	2,672,800	24-22 26		
Cr XX	32.03	10.14	68.51	21.43	2,516,900	22-34 26		
Cr XVII	32.21	9.56	51.62	19.40	7,132,500	64-05 34		

第12表 重クロム酸ソーダ(0.02%)溶液を注げる試験 内周部試料

試験片 符號	荷重 kg	破壊 面の 直徑 d(mm)	荷重點より 破壊までの 距離 l(mm)	最大 曲應力 $\tau(kg/mm^2)$	繰り返し回数 N	試験所要時間 h-m	液温 °C	備考
No.20CrO ₇								
〃 XIII	70.56	11.07	85.82	45.12	159,000	1-31 21.5		
〃 I	70.56	11.81	102.44	44.72	210,200	1-50 22		
〃 XIV	67.49	11.19	88.62	43.50	324,700	3-4 21		
〃 II	74.49	11.21	88.98	43.18	265,100	2-19 24		
〃 III	61.36	11.04	86.05	39.97	336,300	2-59 24		
〃 IV	55.22	11.03	86.61	36.30	1,256,500	11-9 27		
〃 V	52.16	11.04	85.64	33.83	735,000	7-1 27.5		
〃 VI	49.09	11.33	89.47	30.76	951,900	9-3 28		
〃 VII	42.95	11.08	85.13	27.35	2,011,200	18-51 25		
〃 XI	39.88	11.75	57.80	25.11	8,577,800	74-26 8		
〃 VII	46.02	8.16	28.67	24.73	2,909,000	26-43 26.5		
〃 XI	36.82	10.68	79.97	24.62	10,149,000	87-34 25		
〃 X	36.82	11.08	87.14	24.03	2,548,100	22-10 30		
〃 XVI	35.28	11.28	93.78	23.44	2,846,100	25-7 31		
〃 XII	33.75	10.45	74.16	22.34	10,149,000	87-34 25		
〃 XV	32.21	10.25	67.19	20.64	4,836,000	42-40 30		

第13表 クロム酸カリ溶液(0.02%)を注げる試験 内周部試料

試験片 符號	荷重 kg	破壊 面の 直徑 d(mm)	荷重點より 破壊までの 距離 l(mm)	最大 曲應力 $\tau(kg/mm^2)$	繰り返し回数 N	試験所要時間 h-m	室温 °C	備考
K ₂ CrO ₇								
〃 XIV	62.71	11.25	90.21	40.47	287,700	2-47 27		
〃 XIII	61.00	9.27	48.42	37.82	440,500	6-02 26		
〃 XIV	55.17	10.59	72.52	34.31	350,900	3-11 26		
〃 XVI	51.78	10.49	71.52	32.67	907,600	8-30 31		
〃 XI	48.32	9.59	56.25	31.39	816,400	7-13 27		
〃 XII	42.57	10.45	73.54	27.94	1,430,600	12-45 27		
〃 I	40.31	10.48	72.52	25.87	2,254,900	19-49 33		
〃 II	37.30	10.95	81.10	23.47	3,197,700	27-46 33		
〃 III	33.29	10.39	72.73	21.99	3,171,000	27-55 30		
〃 V	32.22	11.34	90.52	20.37	4,371,700	38-25 30		
〃 IV	30.92	10.25	67.70	19.80	6,776,800	59-35 31		
〃 VI	29.31	10.90	80.38	18.53	5,231,300	45-50 30		
〃 VII	27.80	10.75	77.86	17.75	9,649,000	85-03 30		
〃 IX	26.73	11.18	81.29	17.40	3,709,600	33-21 34		
〃 VIII	25.80	10.32	69.51	16.62	6,969,600	61-3 31		
〃 X	24.22	10.41	73.16	16.00	10,152,900	89-20 34		

第14表～第18表 外國製 Ni-Cr ピストン棒の窒化試料の疲労試験成績

第14表 20時間窒化せる試料の空氣中試験 外周部試料

試験片 符號	荷重 kg	破壊 面の 直徑 d(mm)	荷重點より 破壊面 までの距 離l(mm)	最 大 曲應力 $\sigma(kg/mm^2)$	繰り返し N	試験 所要 時間 h-m	室温 °C	備考
NA I	85.90	11.55	97.97	55.33	520,300	4-40	22	
NA II	82.84	12.00	109.38	53.41	1,123,900	10-11	21	
NA IV	76.70	11.89	107.66	50.04	5,696,200	51-54	23	
NA III	79.77	12.08	107.84	49.70	3,308,500	29-45	24	破裂せず
NA V	73.63	10.31	70.90	48.52	10,089,800	91-33	25	
NA VI	75.17	11.81	104.08	48.38	9,628,000	87-5	26	

第16表 52時間窒化せる試料の注水試験 外周部試料

試験片 符號	荷重 kg	破壊 面の 直徑 d(mm)	荷重點より 破壊面 までの距 離l(mm)	最 大 曲應力 $\sigma(kg/mm^2)$	繰り返し N	試験 所要 時間 h-m	水温 °C	備考
NW III	65.96	9.84	61.47	43.35	2,343,600	21-3	22	
NW IV	63.89	11.00	87.09	41.79	7,340,800	66-24	22	
NW VI	62.89	10.54	75.09	41.08	10,100,000	91-33	30	破裂せず
NW V	61.36	10.41	70.84	39.25	10,100,000	91-33	30	"

第15表 20時間窒化せる試料の注水試験 外周部試料

試験片 符號	荷重 kg	破壊 面の 直徑 d(mm)	荷重點より 破壊面 までの距 離l(mm)	最 大 曲應力 $\sigma(kg/mm^2)$	繰り返し N	試験 所要 時間 h-m	水温 °C	備考
NW IX	79.77	10.59	77.07	52.72	2,315,500	19-12	23	
NW V	76.70	9.77	59.4	49.96	3,012,900	28-49	25	
NW X	73.63	11.43	94.18	47.30	4,345,400	39-09	23	ボールベアリング 破壊中に止
NW VI	69.02	—	—	—	—	—	—	破裂せず
NW XII	67.49	10.43	73.54	44.56	4,714,900	42-08	28	
NW XI	54.43	10.85	83.61	42.45	2,313,800	21-34	28	
NW I	59.83	10.34	75.20	41.46	10,120,200	91-55	24	破裂せず
NW XIV	62.89	10.71	78.58	41.33	6,506,400	57-33	28	
NW XIII	61.36	10.09	66.09	40.21	8,795,700	67-31	28	
NW II	56.76	10.40	74.28	38.18	10,120,200	91-55	24	破裂せず

第17表 30時間窒化せる試料の注水試験 外周部試料

試験片 符號	荷重 kg	破壊 面の 直徑 d(mm)	荷重點より 破壊面 までの距 離l(mm)	最 大 曲應力 $\sigma(kg/mm^2)$	繰り返し N	試験 所要 時間 h-m	水温 °C	備考
NW VII	65.96	9.77	89.20	43.83	2,524,800	22-53	25	
NW XVII	65.96	10.41	72.23	43.01	10,108,300	90-47	36	破裂せず
NW XVIII	64.43	10.54	73.45	41.17	10,108,300	90-47	36	"
NW VIII	62.89	10.61	76.20	41.04	10,110,000	93-48	24	"

第18表 20時間窒化せる試料の注水試験 内周部試料

試験片 符號	荷重 kg	破壊 面の 直徑 d(mm)	荷重點より 破壊面 までの距 離l(mm)	最 大 曲應力 $\sigma(kg/mm^2)$	繰り返し N	試験 所要 時間 h-m	水温 °C	備考
NW I	58.29	10.98	81.29	36.46	3,743,600	34-26	24	
NW II	52.15	—	—	—	—	—	24	ボールベアリング 破壊中に止

第24表～第25表 當所製炭素鋼ピストン棒の圧延材の疲労試験成績

第24表 空氣中試験

試験片 符號	荷重 kg	破壊 面の 直徑 d(mm)	荷重點より 破壊面 までの距 離l(mm)	最 大 曲應力 $\sigma(kg/mm^2)$	繰り返し N	試験 所要 時間 h-m	室温 °C	備考
ICA I	55.22	11.72	101.46	35.45	23,800	-16	22	
ICA II	52.16	10.70	80.49	34.91	27,600	-18	22	
ICA III	49.09	11.32	92.75	31.97	36,600	-20	25	
ICA IV	46.02	10.33	70.51	29.98	44,300	-23	25	
ICA V	42.95	10.51	73.43	27.67	59,600	-31	26	
ICA VI	39.88	9.64	57.90	26.25	160,000	1-23	26	
ICA VII	36.82	10.72	81.76	24.89	194,800	1-41	27	
ICA IX	30.68	11.27	96.45	21.07	851,100	7-11	27	
ICA VIII	33.75	10.82	74.52	20.22	517,400	4-28	25	
ICA X	27.61	10.55	73.53	17.61	2,013,500	17-2	27	
ICA XI	24.54	10.38	72.22	16.14	1,699,000	14-30	25	
ICA XII	31.48	10.09	66.19	14.10	2,056,100	16-28	26	振動あり
ICA XIII	18.41	9.83	65.93	13.02	10,132,100	87-18	28	破裂せず
ICA XIV	15.34	9.98	63.14	10.71	10,132,100	87-18	28	"

第25表 注水試験

試験片 符號	荷重 kg	破壊 面の 直徑 d(mm)	荷重點より 破壊面 までの距 離l(mm)	最 大 曲應力 $\sigma(kg/mm^2)$	繰り返し N	試験 所要 時間 h-m	水温 °C	備考
ICW V	46.02	10.91	79.60	31.98	67,800	-39	28	
ICW VI	39.88	10.53	77.07	26.81	234,800	2-7	28	
ICW I	33.75	10.22	71.05	22.89	682,600	5-52	27	
ICW VII	30.68	12.05	105.32	19.05	509,800	4-44	23	
ICW II	27.61	10.20	70.03	18.56	1,311,500	11-13	27	
ICW VIII	24.54	10.50	73.03	15.77	833,000	8-2	23	
ICW III	21.48	10.75	81.29	14.31	9,684,000	83-8	25	
ICW IV	18.41	10.70	79.59	12.18	9,770,200	83-54	25	

第26表～第27表

當所製炭素鋼ピストン棒の鍛錬材の疲労試験成績

第27表 注水試験外周部試料

第26表 空氣中試験外周部試料

試験片 符號	荷重 kg	破壊 面の 直徑 d(mm)	荷重點より破壊までの距離 l(mm)	最大 曲應力 $\sigma / kg/mm^2$	繰り返し N	試験 所要 時間 h-m	室温 °C	備考
2CA I	55.22	12.11	109.27	35.45	18,900	-12	20	
2CA V	49.09	11.77	102.51	31.43	49.8	-28	23	
2CA VI	42.95	10.61	75.55	27.29	148,400	1-21	25	
2CA II	39.88	10.84	78.78	25.06	410,300	3-53	24	
2CA VII	36.82	10.45	72.51	23.83	940,100	8-35	22	
2CA III	33.75	11.62	100.97	22.12	2,252,000	19-58	24	破壊せず
2CA VIII	32.21	10.19	68.13	21.13	10,124,200	91-49	22	
2CA IV	30.68	10.24	69.65	20.27	10,124,200	91-49	22	破壊せず

試験片 符號	荷重 kg	破壊 面の 直徑 d(mm)	荷重點より破壊までの距離 l(mm)	最大 曲應力 $\sigma / kg/mm^2$	繰り返し N	試験 所要 時間 h-m	室温 °C	備考
2CW I	49.09	10.73	76.55	30.98	64,500	-3.3	25	
2CW II	42.95	10.12	61.39	28.45	164,000	1-25	25	
2CW III	39.88	10.25	70.52	26.60	401,600	3-50	25	
2CW IV	36.82	10.31	71.53	24.39	547,800	5-06	26	
2CW V	33.75	9.96	61.97	21.56	1,248,700	11-06	27	
2CW VI	30.68	9.43	53.44	19.92	1,774,000	16-19	24	
2CW VII	27.61	11.18	89.41	18.07	2,130,000	19-57	23	振動多し
2CW XV	26.08	9.76	58.96	16.85	6,529,000	58-27	25	
2CW IX	26.08	10.19	65.59	16.47	2,091,500	19-2	22	
2CW VIII	24.54	10.23	69.11	16.14	2,630,400	24-33	23	振動多し
2CW XIII	24.54	9.99	62.57	15.69	4,134,800	38-0	26	
2CW X	23.01	10.95	82.61	14.84	2,419,900	22-53	22	振動多し
2CW XVI	23.01	11.26	90.10	14.79	9,942,400	90-12	21	
2CW XIV	3.01	11.37	91.22	14.75	5,313,500	47-53	27	
2CW XI	31.48	10.42	72.92	14.10	10,101,000	90-27	25	
2CW XII	19.94	10.03	66.90	13.47	10,101,000	90-7	25	破壊せず

第31表～第33表 異にせる材料の疲労試験成績

第31表 棒径 310mm の鍛錬材の空氣中試験

第32表 棒の面積に於て 1/4 に鍛錬せる材料の空氣中試験

試験片 符號	荷重 kg	破壊 面の 直徑 d(mm)	荷重點より破壊までの距離 l(mm)	最大 曲應力 $\sigma / kg/mm^2$	繰り返し N	試験 所要 時間 h-m	室温 °C	備考
A I	57.58	12.13	104.70	34.40	16,300	-10	26	
A II	49.92	11.61	96.30	31.30	31,800	-19	29	
A III	44.97	10.78	76.30	27.90	303,100	2-41	31	
A IV	42.87	10.94	80.30	26.78	1,044,500	9-19	30	
A XIII	41.67	10.63	73.36	26.00	10,106,600	92-16	23	破壊せず
A X	39.55	11.08	83.70	24.79	1,298,800	11-25	23	
A IV	37.50	10.73	77.45	23.95	973,600	8-55	30	
A VIII	26.70	10.45	70.22	23.00	10,106,600	92-16	23	破壊せず
A V	34.97	10.49	71.27	22.00	10,106,200	90-35	28	〃
A VI	31.90	10.54	72.07	20.00	10,106,200	90-35	28	〃

試験片 符號	荷重 kg	破壊 面の 直徑 d(mm)	荷重點より破壊までの距離 l(mm)	最大 曲應力 $\sigma / kg/mm^2$	繰り返し N	試験 所要 時間 h-m	室温 °C	備考
B I	55.82	11.96	104.30	34.40	25,200	-13	26	
B II	50.33	11.51	93.90	31.57	54,900	-29	26	
B III	46.72	11.30	89.50	29.52	96,700	-50	28	
B IX	42.77	10.47	72.80	29.05	110,000	1-5	30	
B IV	43.63	10.29	68.65	28.00	796,200	7-7	28	
B VII	42.19	11.07	84.55	26.78	1,224,700	11-7	23	
B X	42.34	9.95	61.10	26.77	3,705,800	33-58	30	
B V	39.86	10.40	72.04	26.00	10,125,100	90-02	26	破壊せず
B VIII	38.97	10.42	71.26	25.00	10,110,400	89-42	27	〃
B VI	37.01	10.44	72.45	24.00	10,125,100	90-02	26	〃

第33表 棒の面積に於て 1/4 に鍛錬せる材料の空氣中試験

試験片 符號	荷重 kg	破壊 面の 直徑 d(mm)	荷重點より破壊までの距離 l(mm)	最大 曲應力 $\sigma / kg/mm^2$	繰り返し N	試験 所要 時間 h-m	室温 °C	備考
C I	56.79	12.22	108.40	34.39	21,100	-10	27.5	
C II	50.34	11.80	98.90	30.89	48,300	-27	30	
C VII	45.59	10.02	62.30	28.75	192,800	1-55	28	
C III	46.69	10.20	63.10	28.28	121,400	1-05	32	

試験片 符號	荷重 kg	破壊 面の 直徑 d(mm)	荷重點より破壊までの距離 l(mm)	最大 曲應力 $\sigma / kg/mm^2$	繰り返し N	試験 所要 時間 h-m	室温 °C	備考
C VIII	43.95	10.29	68.00	27.94	466,100	4-30	29	
C IV	44.12	10.23	66.50	27.91	544,200	4-45	33	
C V	42.51	10.31	68.34	27.00	10,104,700	89-34	29	破壊せず
C VI	41.44	10.56	72.54	26.00	10,104,700	89-34	29	〃

第36表～第43表 異にせる材料の疲労試験成績

第36表 空氣中試験外周部試料

第37表 空氣中試験内周部試料

試験片 符號	荷重 kg	破壊 面の 直徑 d(mm)	荷重點より破壊までの距離 l(mm)	最大 曲應力 $\sigma / kg/mm^2$	繰り返し N	試験 所要 時間 h-m	室温 °C	備考
3CA X	55.22	11.74	100.33	34.88	15,000	-8	22	
3CA IX	49.09	11.73	98.78	30.60	35,000	-20	22	
3CA XII	42.95	10.77	77.05	26.98	54,100	-39	25	
3CA IX	39.88	9.80	56.44	24.36	229,000	1-52	26	
3CA I	36.82	10.24	65.69	22.94	693,000	6-7	25	
3CA II	33.75	10.31	70.93	22.25	2,373,800	21-35	21	
3CA III	32.21	10.10	66.22	21.09	10,120,400	90-48	22	破壊せず
3CA IV	30.68	10.29	68.72	19.71	10,120,400	90-48	22	〃

試験片 符號	荷重 kg	破壊 面の 直徑 d(mm)	荷重點より破壊までの距離 l(mm)	最大 曲應力 $\sigma / kg/mm^2$	繰り返し N	試験 所要 時間 h-m	室温 °C	備考
3CA VII	55.02	11.95	104.16	34.33	12,700	-17	19.5	
3CA VIII	49.09	11.86	102.00	30.53	29,900	-20	19.5	
3CA V	42.95	10.38	70.72	27.67	50,900	-25	19.5	
3CA VI	39.88	10.82	77.66	27.24	215,000	1-52	19.5	
3CA VI	36.82	9.59	54.44	23.15	476,000	4-30	24	
3CA XIV	33.75	10.66	74.54	21.15	1,655,900	14-0	25	
3CA XV	32.21	11.13	84.70	20.16	1,670,800	15-20	24	
3CA XIII	30.68	10.12	66.46	20.04	10,126,700	91-20	24	破壊せず

第38表 注水試験外周部試料

試験片 符號	荷重 kg	破壊 面の 直徑 d(mm)	荷重點よ り破壊面 までの距 離l(mm)	最 大 曲應力 $\sigma(kg/mm^2)$	繰返回數 N	試験 所要 時間 h-m	液溫 °C	備考
3CW XII	53.69	11.54	92.73	33.07	13,200	- 7	26	
3CW XI	46.02	10.79	78.06	29.13	122,500	1- 4	26	
3CW VIII	42.95	10.17	65.48	27.23	217,000	2- 3	27	
3CW VII	39.88	10.88	78.56	24.78	500,700	4-37	27	
3CW VI	36.87	9.53	50.62	21.73	645,500	5-40	28	
3CW V	38.75	10.38	67.89	20.87	1,189,900	11-20	28	
3CW III	30.68	11.60	94.15	18.85	1,326,500	12- 2	8	
3CW X	29.15	10.96	81.59	18.40	2,232,500	20-12	24	
3CW IV	27.61	11.46	89.77	16.73	3,960,500	37-22	28	
3CW IX	26.08	11.04	83.20	16.43	2,164,000	23-14	28	振動あり
3CW I	24.54	10.45	73.03	16.00	10,150,000	90-50	26	破壊せず
3CW II	21.48	10.30	68.99	13.81	10,150,000	90-50	26	"

第41表 乳化油(1%)を注げる試験 内周部試料

試験片 符號	荷重 kg	破壊 面の 直徑 d(mm)	荷重點よ り破壊面 までの距 離l(mm)	最 大 曲應力 $\sigma(kg/mm^2)$	繰返回數 N	試験 所要 時間 h-m	液溫 °C	備考
3CE VIII	46.02	11.56	91.99	27.92	96,500	- 5	28	
3CE VI	42.95	11.42	92.33	27.12	140,000	1-20	28	
3CE V	39.88	11.63	94.40	25.67	328,000	3-11	29	
3CE VII	38.35	12.11	106.66	23.46	630,600	5-40	27	
3CE W	36.82	11.13	85.03	23.13	854,400	7-31	29.5	
3CE II	37.75	10.24	65.88	21.34	1,447,000	12-55	26	
3CE III	32.21	1.6	76.56	20.91	3,207,400	29- 7	31	
3CE I	0.08	10.36	71.17	20.00	10,119,600	90-35	26	破壊せず

第42表 重クロム酸ソーダ(0.02%)溶液を注げる試験

外周部試料

第39表 注水試験内周部試料

試験片 符號	荷重 kg	破壊 面の 直徑 d(mm)	荷重點よ り破壊面 までの距 離l(mm)	最 大 曲應力 $\sigma(kg/mm^2)$	繰返回數 N	試験 所要 時間 時分	水溫 °C	備考
CW II	42.95	9.77	57.95	27.19	169,400	1-23	24	
CW I	39.88	9.67	55.95	25.14	273,300	2-10	24	
CW IV	36.82	10.5	73.33	23.62	424,600	3-52	26	
3CW III	33.75	10.47	72.33	21.67	1,090,200	10-11	28	
3CW X	30.68	10.17	64.67	19.19	1,154,700	10- 9	30	
3CW XIII	27.61	10.11	64.00	17.59	2,420,600	22-12	29	振動あり
3CW VI	24.54	11.29	89.39	15.53	7,736,200	70-14	26	
3CW IX	24.54	10.98	81.59	15.41	2,767,100	24-55	28	振動あり
3CW VII	23.01	10.20	63.57	14.04	3,529,800	32- 0	31	"
3CW V	21.48	10.59	76.01	14.00	10,158,400	92-18	27	破壊せず

第40表 乳化油(1%)を注げる試験 外周部試料

試験片 符號	荷重 kg	破壊 面の 直徑 d(mm)	荷重點よ り破壊面 までの距 離l(mm)	最 大 曲應力 $\sigma(kg/mm^2)$	繰返回數 N	試験 所要 時間 h-m	液溫 °C	備考
3CE II	46.02	11.31	88.07	28.53	116,000	1- 2	26	
3CE I	42.95	10.68	75.04	26.95	455,400	4- 4	26	
3CE IV	39.88	11.05	82.60	24.25	868,800	7-39	27	
3CE III	36.82	10.62	72.42	22.68	4,306,000	38-58	26	
3CE VI	35.28	11.83	100.00	21.71	3,503,400	31-37	26	
3CE V	33.75	11.69	99.50	21.41	5,591,100	50- 1	26	破壊せず
3CE VIII	32.21	10.26	69.72	21.06	10,153,000	91-40	27	
3CE VII	30.63	10.35	71.73	20.22	10,153,000	91-40	27	"

第43表 クロム酸カリ溶液(0.02%)を注げる試験

外周部試料

試験片 符號	荷重 kg	破壊 面の 直徑 d(mm)	荷重點よ り破壊面 までの距 離l(mm)	最 大 曲應力 $\sigma(kg/mm^2)$	繰返回數 N	試験 所要 時間 h-m	液溫 °C	備考
3C XI	44.14	10.30	67.19	27.65	112,600	1- 5	25	
3C IX	40.44	10.35	69.44	25.80	910,600	8-14	31	
3C XII	39.95	10.56	71.51	24.71	248,000	2-50	27	
3C X	37.19	11.23	87.57	23.42	624,200	5-33	30	
3C I	34.00	11.25	88.59	21.54	1,030,300	9- 5	30	
3C II	31.13	10.62	75.35	19.94	2,224,200	20-18	30	
3C III	29.43	11.28	87.66	18.31	2,037,500	23- 5	30	振動あり
3C IV	28.14	10.66	72.72	17.71	4,251,600	39-22	30	
3C V	26.60	11.12	85.40	16.84	3,784,600	32-50	30	
3C VI	24.29	10.42	73.05	16.00	5,749,600	51-20	31	
3C VII	23.77	11.63	95.28	14.67	9,067,000	79-37	31	
3C VIII	22.21	10.53	72.27	14.00	10,147,400	89- 0	31	破壊せず